

Berner Fachhochschule  
Fachbereich Wirtschaft

Bachelor Thesis

# Automatische Analyse von Kamerabildern zur Prognose des Geburtszeitpunkts von Kälbern

Identifikation von merkmalsbezogenen  
Schwellwerten und Anwendung erprobter  
Softwarebibliotheken zwecks automatischer  
Analyse von Bildern bei der Geburt von Kälbern

Dominique Müller

Studiengang Wirtschaftsinformatik  
Matrikelnummer 17-263-625

Erstgutachter: Prof. Dr. Patrizio Collovà  
Zweitgutachter: Dr. Klaus-Georg Deck

Bern, xx. April 2020

# **Management Summary**

# Inhaltsverzeichnis

<b>Management Summary</b>	<b>ii</b>
<b>1 Ausgangslage</b>	<b>1</b>
1.1 Beschreibung der Situation . . . . .	1
1.2 Bedarf . . . . .	3
1.3 Ziele . . . . .	4
<b>2 Methodisches Vorgehen</b>	<b>7</b>
2.1 Lösungsansatz . . . . .	8
2.2 Zielerreichung . . . . .	8
<b>3 Domänenanalyse</b>	<b>9</b>
3.1 Literaturrecherche . . . . .	9
3.1.1 Grundlegende Geburtsanzeichen . . . . .	9
3.1.2 Zeitliche und prädiktive Hinweise zu den Geburtsanzeichen . .	10
3.1.3 Weiterführende Geburtsanzeichen . . . . .	11
3.1.4 Ablauf einer normalen Geburt . . . . .	12
3.2 Erkenntnisse aus den Interviews . . . . .	15
3.2.1 Kernaussagen aus Interviews . . . . .	16
3.2.2 Codierung von Domänenwissen aus Interviews . . . . .	17
3.3 Bildmaterial aus ersten Tests . . . . .	22
3.4 Domänenmodell . . . . .	24
3.4.1 Legende zu den Diagrammen . . . . .	24
3.4.2 Domänenmodell Geburt . . . . .	25
3.4.3 Allgemeine Bibliothek an Value Objects . . . . .	26
3.4.4 Bibliothek an Value Objects zur Konfiguration und zum Ver- sand von Nachrichten . . . . .	27
<b>4 Lösung</b>	<b>28</b>
4.1 Codierung von Domänenwissen . . . . .	28

## Inhaltsverzeichnis

---

4.2	Modellierung der Lösung . . . . .	30
4.2.1	Klassendiagramm des Pakets Image-Analysis . . . . .	31
4.2.2	Klassendiagramm der Pakete Message-Configuration und Message-Posting . . . . .	32
4.2.3	Value-Object-Bibliothek . . . . .	33
4.3	Überlegungen für den Betrieb . . . . .	34
4.4	Umsetzung in Entwicklung . . . . .	35
4.4.1	Detektierung von unwichtigen Bereichen im Bild . . . . .	36
4.4.2	Detektierung von wichtigen Bereichen im Bild . . . . .	44
4.4.3	Erkennung von seitlich liegender Kuh . . . . .	51
<b>5</b>	<b>Resultate</b>	<b>58</b>
<b>6</b>	<b>Ausblick</b>	<b>61</b>
<b>7</b>	<b>Selbstreflexion</b>	<b>62</b>
	<b>Selbstständigkeitserklärung</b>	<b>63</b>
	<b>Anhang</b>	<b>69</b>
1	Glossar . . . . .	69
2	Dokumentation zum entwickelten System . . . . .	74
2.1	Computer für Entwicklung . . . . .	74
2.2	Eingesetzte Software . . . . .	74
2.3	Installation von OpenCV und vorausgesetzten Softwaremodulen	74
2.4	Nützliche Links . . . . .	78
3	Mindmap als Entwurf für Modellierung der Domäne . . . . .	79

# 1 Ausgangslage

## 1.1 Beschreibung der Situation

In den letzten Jahren ist die Landwirtschaft zunehmend unter Druck geraten. Der Primärsektor verliert an volkswirtschaftlicher Bedeutung ([Hofer 2010](#), S. 1 f.). Sowohl der Anteil an Beschäftigten als auch die landwirtschaftliche Nutzfläche sinkt ([Hofer 2010](#), S. 2 ) und Preise für Agrarprodukte sind stark unter Druck ([Hofer 2010](#), S. 11 ). Daraus entsteht ein tiefgreifender Strukturwandel ([Hofer 2010](#), S. 11 f.). Zahlreiche Landwirte gehen Nebentätigkeiten nach, um zusätzliches Einkommen zu generieren ([Hofer 2010](#), S. 6). Deshalb stellen sowohl die Maximierung des landwirtschaftlichen Einkommens als auch die Ermöglichung der Nutzung von Nebenerwerbsquellen besondere Herausforderungen in der Landwirtschaft dar ([Stefan et al. 2003](#), S. 8). Für selbstständige Landwirte ist es nicht einfach, einem Nebenerwerb nachzugehen.

Auch der Landwirt Peter Müller geht einer Nebenerwerbstätigkeit nach und will daher im landwirtschaftlichen Betrieb <sup>1</sup> nach innovativen Lösungen suchen, welche der Doppelbelastung entgegenwirken ([Müller 2019](#)).

---

<sup>1</sup>Standort des Betriebs: Schwellibach 50, CH-1714 Heitenried, Kanton Freiburg

## 1 Ausgangslage

---

### Entwicklung der Anzahl Betriebe nach Größenklassen

Größenklasse	Anzahl Betriebe	Anzahl Betriebe	Anzahl Betriebe	Veränderung pro Jahr	Veränderung in %	Veränderung in %
	2000	2017	2018	2000 – 2018	2017 – 2018	
0 – 3 ha	8 371	5 440	5 342	-2,5	-1,8	
3 – 10 ha	18 542	9 511	9 271	-3,8	-2,5	
10 – 20 ha	24 984	15 324	14 873	-2,8	-2,9	
20 – 30 ha	11 674	10 725	10 576	-0,5	-1,4	
30 – 50 ha	5 759	7 870	7 944	1,8	0,9	
> 50 ha	1 207	2 750	2 846	4,9	3,5	
<b>Total</b>	<b>70 537</b>	<b>51 620</b>	<b>50 852</b>	<b>-1,8</b>	<b>-1,5</b>	

Abbildung 1: Entwicklung der Anzahl Haupt- und Nebenerwerbsbetriebe nach Regionen ([Agrarbericht.ch n.d.](#))

Um möglichst viel Milch zu produzieren, sorgen Landwirte dafür, dass jede Kuh auf dem Bauernhof einmal pro Jahr ein Kalb gebärt. Bei 15 Kühen auf dem Bauernhof des Arbeitgebers, bedeutet dies mehr als eine Geburt pro Monat ([Müller 2019](#)).

Jede Geburt, bei welcher der Landwirt abwesend ist, könnte für die Kuh und das Kalb ein lebensbedrohliches Risiko darstellen ([Müller 2019](#)).

Dieser Bezug zur Problemstellung hat der Autor im Rahmen der Case-Arbeit «Technologische Unterstützung von Landwirten bei der Geburt von Kälbern und bei der Heuernte» erarbeitet. Es wurde ein System entwickelt, welches in regelmässigen zeitlichen Abständen Kamerabilder aufnimmt und auf einer Website darstellt. Das System zeigt Kamerabilder in passender Qualität zwecks Beobachtung auf einer Website an. Ziele dieses Systems sind im Wesentlichen die Überwachung von der Geburt von Kälbern und die Überwachung der Heuernte einfacher und weniger aufwändig zu gestalten. Weiter soll dadurch das Risiko bei der Geburt von Kälbern und das Risiko von Schäden an der Infrastruktur zur Heuernte reduziert werden.

Sowohl Dr. med. vet. Samuel Kohler, Tierarzt und Studiengangsleiter Agronomie bei der BFH (HAFL), als auch der Auftraggeber, der Landwirt Peter Müller, sehen die Case-Arbeit als spannende Lösung mit Optimierungspotential. Zurzeit müssen die aufgenommenen Kamerabilder von Landwirten nach wie vor auf einer Website angezeigt und von Menschen interpretiert werden. Die computergetriebene, voll-

automatische Verarbeitung und Analyse von Kamerabildern stellt eine sinnvolle Weiterentwicklung zur Reduzierung des Überwachungsaufwands dar.

## 1.2 Bedarf

Dystokie ist die Todesursache von 50 bis 66% der Kalbsgeburten mit tödlichem Ausmass. Dies hat auch wirtschaftliche Konsequenzen in Form von Kosten für die Dienstleistungen des Tierarztes, nicht verkauften Kälbern, tieferer Milchproduktion oder vorzeitiger Schlachtung. Darüber hinaus ist Dystokie schmerzvoll und beeinträchtigt das Wohlergehen der Kühe (Saint-Dizier & Chistant-Maillard 2015, S. 349). Die Geburt ist ein kritisches Ereignis für Kuh und Kalb und oftmals Auslöser für nachfolgende Krankheiten. Optimales Management und Überwachung der Geburt wirken diesen Risiken entgegen und vermindern die Eintrittswahrscheinlichkeit von Dystokie und Totgeburt (Lange et al. 2017, S. 4847). Die Prognose des Geburtszeitpunkts unterstützt die Entscheidung, ob und wann menschliche Geburtshilfe angebracht ist. Die Unterstützung beim Abkalben bewirkt eine Verringerung der Kälbersterblichkeit und der Plazenta-Retention. Zusammenfassend ist die Vorhersage des Geburtszeitpunkts daher sowohl für die Wirtschaftlichkeit der Tierhaltung als auch für das Wohlergehen der Tiere von Bedeutung (Saint-Dizier & Chistant-Maillard 2015, S. 349).

Zum heutigen Zeitpunkt gibt es diverse Lösungsansätze zur Analyse des Geburtsverlaufs. Neigungs- und Beschleunigungssensoren sollen die Schwanzhebung und Verhaltensänderungen erkennen (Saint-Dizier & Chistant-Maillard 2015, S. 354). Zudem können spezialisierte Wiederkäuersensoren, welche beispielsweise von der Forschungsanstalt Agroscope entwickelt werden, das Wiederkäuerverhalten der Tiere analysieren (Pahl et al. 2014, S. 6936). Intelligente Bauchgürtel sind laut (Saint-Dizier & Chistant-Maillard 2015, S. 354) in der Lage, Abdominalkontraktionen zu detektieren. Intravaginale Sensoren erkennen einen Abfall der Körpertemperatur und die Ausstossung des Allantochorions. Zudem gibt es Vorrichtungen in der Vagina oder an den Schamlippen, welche die Ausstossung der Waden erkennen. Sämtliche Produkte funktionieren nach demselben Prinzip: Sobald ein Sensor das prädiktive Merkmal erkennt, wird dieses analysiert und eine Benachrichtigung an den Landwirten ausgelöst. So wird der Landwirt vor dem bevorstehenden Abkalben gewarnt. Die wissenschaftliche Basis der angebotenen Produkte ist jedoch oftmals mangelhaft. Diese Einschätzung von (Saint-Dizier & Chistant-Maillard 2015, S.

354) hat mehrere Ursachen. Einerseits berücksichtigen die Produkte oftmals nur eine geringe Anzahl von Parametern zur Analyse. Andererseits bringt zurzeit keines der getesteten Geräte, die Möglichkeit, die Notwendigkeit von menschlicher Geburtsunterstützung oder Dystokie zu erkennen. Außerdem wurden die meisten Studien bei der Rasse Holstein in Milchkuhhaltung durchgeführt. Sowohl in der Sammlung von Erfahrung bei anderen Rassen als auch anderer Haltung liegt grosses Verbesserungspotential. Dementsprechend ist die Einführung von technischen Systemen zur Sammlung von Daten bei einer grossen Anzahl von Tieren anstrebenswert. So können weitere Wissenquellen gewonnen werden, welche für die Entwicklung von erfolgreicher Produkten nützlich sind (**Saint-Dizier & Chistant-Maillard 2015**, S. 354). Die vorliegende Arbeit beinhaltet die Analyse von Kamerabildern während der Geburt von Kälbern der Rasse Swiss Fleckvieh. Dadurch kann die Arbeit einen Beitrag zum Gewinn von weiterer Erfahrung in dieser Domäne leisten.

In der Studie von (**Ouellet et al. 2016**, S. 1542) wurden 42 Kühe mit Sensoren ausgestattet, wobei acht davon die Sensoren verloren haben und durch technische Probleme mit dem Wiederkäuersensor bei zwei weiteren Kühen keine Daten zum Wiederkäuerverhalten gesammelt werden konnten. Der Einsatz von Kameras hingegen ermöglicht eine sichere Entfernung zwischen Kuh und technischer Einrichtung. Der Autor der vorliegenden Arbeit ist der Meinung, dass diese Entfernung die Ausfallsicherheit des Systems erhöhen kann. Um dies zu erreichen, werden Hinweise von Tierärzten als Unterstützung gesammelt.

### 1.3 Ziele

Wünschenswert ist nun, im Rahmen der Bachelor-Thesis ein System zu entwickeln, welches die automatische Analyse von Kamerabildern zur Prognose des Geburtszeitpunkts von Kälbern ermöglicht.

Der Aufwand für die Überwachung des Geburtsverlaufs ist auf ein Minimum reduziert, weil die Lösung vollständig digitalisiert ist.

Dieses System soll modular und erweiterbar sein und optimalerweise auch in der Lage sein, Landwirte und Tierärzte mittels direkter und gezielter Benachrichtigungen fast in Echtzeit über den Geburtsverlauf von Kälbern zu informieren. Grundlage für diese Benachrichtigung bildet die computergetriebene Analyse von Bildmaterial.

## 1 Ausgangslage

---

Im Rahmen der vorliegenden Bachelor-Thesis wird zwischen Projektzielen, betrieblichen und optionalem Zielen unterschieden.

### Projektziele (Ziele zum Lieferergebnis)

ID	Beschreibung
A1	Das System liest Bilddateien von einem Dateisystem ein.
A2	Das System erkennt Bilder von der Geburt eines Kalbes und löst daraufhin eine vordefinierte Aktion aus. In einer ersten Phase handelt es sich um eine konfigurierbare Meldung in der Konsole der Entwicklungsumgebung. Weitere Aktionen sind in der Tabelle "Optionale Ziele" spezifiziert.
A3	Das System arbeitet auf Basis von Mustern und visuellen Merkmalen unter Berücksichtigung gegebener Schwellwerte.
A4	Das System arbeitet aus Entfernung zu Tieren, sodass das System von Tieren nicht zerstört werden kann.
A5	Das System ist durch fundiertes Software-Engineering so aufzubauen, dass eine beliebige technische Komponente ausgetauscht werden kann und die neue Implementierung für die restlichen Schichten keine Auswirkung hat.

Tabelle 1: Projektziele

### Ziele im Betrieb

Die folgende Tabelle verdeutlicht die betrieblichen Ziele im Zusammenhang mit der Geburt von Kälbern.

ID	Beschreibung
B1	Das System reduziert den Aufwand für die Überwachung des Geburtsverlaufs mittels Kamerabildern.
B2	Das System stellt sowohl für Landwirte als auch Tierärzte ein digitales Werkzeug zur Entscheidungsunterstützung zur Verfügung.
B3	Das System senkt Geburtsrisiken für Kuh und Kalb. Dies erhöht die Wirtschaftlichkeit der Tierhaltung und das Wohlergehen der Tiere.
B4	Das System vereinfacht die Einleitung von gezielten Massnahmen zur Geburshilfe.

Tabelle 2: Betriebliche Ziele für die Überwachung bei der Geburt von Kälbern.

### Optionale Ziele

Folgende Tabelle verdeutlicht die anstrebenswerten Ziele, welche einen zusätzlichen Mehrwert erschaffen sollen.

ID	Beschreibung
C1	Das System erkennt Bilder bei welchen in den nächsten 12 Stunden noch keine Geburt stattfindet und löst daraufhin eine vordefinierte, konfigurierbare Aktion aus. In einer ersten Phase handelt es sich um eine konfigurierbare Meldung, die in der Konsole der Entwicklungsumgebung ausgegeben wird.
C2	Das System ist in der Lage, Landwirte und Tierärzte mittels Benachrichtigungen als Textnachricht per a) SMS, b) Twitter, c) WhatsApp oder d) Mail über den Geburtsverlauf von Kälbern zu informieren.

Tabelle 3: Optionale Ziele für die Überwachung bei der Geburt von Kälbern.

## 2 Methodisches Vorgehen

Wie auch in der Case-Arbeit wird in der Anfangsphase der Bachelor-Thesis die Business Analyse eine Schlüsselrolle einnehmen. Für die Business Analyse stellen sowohl qualitative Interviews (per Videotelefonie durchgeführt) mit Fachleuten (Veterinäre, Landwirte) als auch Literaturrecherchen die wichtigsten Methoden dar. In diesem Rahmen sind die wesentlichen Merkmale eines Bildes zu identifizieren, welche für Prognose und computergetriebene Analyse des Geburtsverlaufs von Kälbern von Bedeutung sind. Weiterhin müssen im Rahmen dieser Analyse merkmalsbezogene Muster und Schwellwerte festgelegt werden, die auf eine Geburt eines Kalbes hinweisen. Diese bestimmen, ob und zu welchem Zeitpunkt Landwirte bzw. Tierärzte über den Geburtsverlauf eines Kalbs informiert werden sollen.

Zudem werden erworbene Kenntnisse aus der Vertiefungsrichtung Business Analyse angewendet. Die im Rahmen der Business Analyse gewonnenen Erkenntnisse werden mithilfe geeigneter Modelle veranschaulicht. Die Lieferobjekte sind durch die Vorgaben des Domain-Driven Designs bestimmt.

Auf Grundlage der Business Analyse ist ein System zu entwickeln, welches digitale Bilder von Kälbern verarbeitet, analysiert und von der Ausprägung von Merkmalen unter Berücksichtigung der gegebenen Schwellwerte ausgehend entsprechende automatische Benachrichtigungen auslöst.

Für die Entwicklung des Systems sind bewährte Methoden des Software Engineering anzuwenden. Die Software ist modellgetrieben zu entwickeln, die erstellten Modelle dienen als Dokumentation der Lösung.

Der Studierende erarbeitet die Lieferergebnisse unter Berücksichtigung der Rahmenbedingungen und trifft sich regelmäßig mit dem Erstbetreuer, um einen Austausch zum Projektstand zu ermöglichen. Der Betreuer berät den Studierenden fachlich und methodisch.

## **2.1 Lösungsansatz**

Um die definierten Ziele zu erreichen, arbeitet der Autor mit der Programmiersprache Python (Version 3) und benutzt für die Bildverarbeitung die Programmbibliothek OpenCV.

Diese Werkzeuge werden verwendet, um Bilder einzulesen, die identifizierten Muster zu erkennen und Merkmale auf die Erreichung der Schwellwerte zu überprüfen und anschliessend eine entsprechende, konfigurierbare Aktion auszuführen. Andere Komponenten können nach Bedarf hinzukommen.

Zusätzlich wird die Programmiersprache R (Version 3) für die Auswertung der Interviews genutzt.

## **2.2 Zielerreichung**

Der gewählte Lösungsansatz ermöglicht eine (vollständige, teilweise) Zielerreichung, weil...

# 3 Domänenanalyse

## 3.1 Literaturrecherche

### 3.1.1 Grundlegende Geburtsanzeichen

Zahlreiche Anzeichen liefern Hinweise auf eine bevorstehende Geburt eines Kalbes. Diese Anzeichen umfassen sowohl bestimmte Positionen und Bewegungsabläufe der Kuh als auch klarer oder blutiger Scheidenausfluss ([Lange et al. 2017](#), S. 4847).

Verdächtige Bewegungsabläufe als Anzeichen für eine bevorstehende Entbindung sind die wiederkehrende Schwanzhebung, häufiges Trippeln oder die Drehung des Kopfes zum Bauch hin ([Lange et al. 2017](#), S. 4847). Auch wiederholtes Aufstehen und Abliegen ist ein Geburtsanzeichen ([Saint-Dizier & Chistant-Maillard 2015](#), S. 352). Das seitliche Liegen mit Abdominalkontraktion stellt eine verdächtige Position dar ([Lange et al. 2017](#), S. 4847).

Weitere Geburtsanzeichen können eingefallene Beckenbänder, ein Euterödem, glänzende Zitzen oder tropfende Milch sein. Auch eine rote Färbung der äusseren Geschlechtsorgane mit zäher Schleimspur liefert Hinweise auf eine Entbindung ([Traulsen & Tischer 2013](#), S. 6). Zudem weisen Hyperplasie des Euters, Schamlippenödem und Schleimsekretion auf eine bevorstehende Geburt hin ([Streyl et al. 2011](#), S. 178).



Abbildung 2: Schwanzhebung tritt vermehrt in den letzten 24 Stunden vor dem Kalben auf ([Lange et al. 2017](#), S. 4847 f.).

### 3.1.2 Zeitliche und prädiktive Hinweise zu den Geburtsanzeichen

Dabei ist zu beachten, dass einige Hinweise in erster Linie auf eine Entbindung innerhalb der nächsten vier Tage hinweisen (nachfolgend Vorkalbeperiode genannt), während andere Anzeichen auf eine Geburt innerhalb der nächsten 24 Stunden hinweisen. Ruhelosigkeit, wiederkehrende Schwanzhebung und die Drehung des Kopfes zum Bauch hin treten häufig 12 bis 6 Stunden vor der Geburt auf. Scheidenausfluss weist darauf hin, dass innerhalb der nächsten 6 Stunden die Geburt eintritt. ([Lange et al. 2017](#), S. 4847)

Bereits durchgeführte Experimente von ([Lange et al. 2017](#), S. 4847) anhand von stündlicher Observierung konnten das Kalben nur mit ungenügender Wahrscheinlichkeit vorhersagen (35.1 bis 72.7%). Demgegenüber konnte das Kalben für die nächsten 12 Stunden jedoch mit hoher Wahrscheinlichkeit ausgeschlossen werden (88.5 bis 97.1%). Mit der Information, dass eine Kuh in den nächsten 12 Stunden nicht kalben wird, können Zeit und Ressourcen in der Überwachung optimiert werden. Daher sollen in der vorliegenden Arbeit auch Merkmale erarbeitet werden, welche darauf hinweisen, dass keine Geburt stattfindet.

Die wichtigsten Parameter zur Prognose des Kalbens innerhalb der nächsten 12 Stunden sind Beckenbänder, Zitzenfüllung, Aufeutern und Scheiden- und Euterödeme. Diese Parameter erlauben eine genaue Vorhersage des Ausbleiben des Kalbens (Streyl et al. 2011, S. 180).

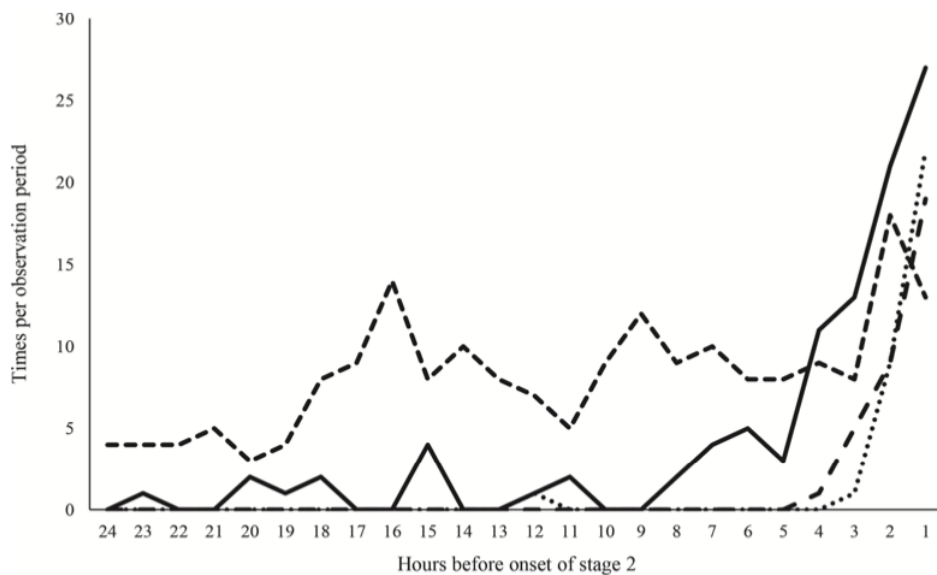


Abbildung 3: Häufigkeit von Geburtsanzeichen während den letzten 24 Stunden vor Geburtsstadium 2 nach Lange et al.: Schwanzhebung (durchgezogene Linie), deutlicher Scheidenausfluss (kurze gestrichelte Linie), blutiger Scheidenausfluss (lange gestrichelte Linie) und seitliches Liegen mit Abdominalkontraktion (gepunktete Linie) (Lange et al. 2017, S. 4851).

### 3.1.3 Weiterführende Geburtsanzeichen

Die Geburt eines Kalbs wird durch die Hypothalamus-Hypophysen-Nebennierenrinden-Achse des Fötus gesteuert. 72 Stunden vor der Geburt des Kalbs können diverse hormonelle Veränderungen beobachtet werden. Beispielsweise nimmt die fetale Produktion von Kortisol ungefähr zehn Tage vor der Geburt stark zu, was wiederum das Progesteron-Östradiol-Verhältnis im mütterlichen Blut beeinflusst. Auch Informationen zur Veränderung der Temperatur der äusseren Geschlechtsorgane und zum Wiederkauverhalten können für sensorbasierte Systeme einen deutlichen Mehrwert in Bezug auf die prädiktive Analyse schaffen. Außerdem versuchen Kühe am Tag der Geburt vermehrt, sich von der Herde zu isolieren (Saint-Dizier &

Chastant-Maillard 2015, S. 349-352). Da die vorliegende Arbeit aber auf die Analyse von Bildern fokussiert, werden diese sozialen Merkmale in der nachfolgenden Arbeit nicht mehr thematisiert.

### 3.1.4 Ablauf einer normalen Geburt

Normalerweise befinden sich Kälber in der Vorderendlage. Das heisst, dass zuerst die Vorderbeine und der Kopf durch die Scham gepresst werden (Müller 2020b). Eine mögliche Fehlhaltung ist die Hinterendlage. Dabei wird das Kalb mit den Hinterbeinen voran abgekalbert. Weiter stellen gebeugte Gliedmassen, eine Kopfseitenhaltung oder eine Rückenquerlage Risiken für eine Geburt dar (Traulsen & Tischer 2013, S. 17, 24-26).



Abbildung 4: Veranschaulichung zur Vorderendlage eines Kalbes (Traulsen & Tischer 2013, S. 17).

Eine Geburt kann in fünf Phasen eingeteilt werden. Die Vorbereitungsphase, die Öffnungsphase, die Aufweitungsphase, die Austreibungsphase und die Nachgeburtphasen (Traulsen & Tischer 2013, S. 6-8 ).

In der Vorbereitungsphase stellt sich die Kuh auf die bevorstehende Geburt ein. Deshalb treten die obengenannten Geburtsanzeichen auf (beispielsweise eingefallene

Beckenbänder oder rote Färbung der äusseren Geschlechtsorgane) (**Traulsen & Tischer 2013, S. 6** ).

Die Öffnungsphase erstreckt sich über 6 bis 16 Stunden. Der innere Muttermund öffnet sich und die Fruchtblasen treten in den Gebärmutterhals ein, damit dieser gedehnt wird. Es treten erste, leichte Wehen auf und die Kuh kann unruhig sein (**Traulsen & Tischer 2013, S. 7** ).



Abbildung 5: Die Fruchtblasen (Wasser- und Schleimblase) weiten bei der Öffnungsphase den Geburtsweg (**Traulsen & Tischer 2013, S. 7** ).

Die Zeit vom Blasensprung bis zum Durchtreten des Kopfes wird als Aufweitungsphase bezeichnet und dauert 1 bis 6 Stunden (**Traulsen & Tischer 2013, S. 7** ).



Abbildung 6: Die Aufweitungsphase dauert bei Kühen im Normalfall 1 bis 3 Stunden. Bei Färzen kann dies bis zu 3 Stunden länger dauern. (Traulsen & Tischer 2013, S. 7 ).

Im Rahmen der Austreibungsphase sollte das Kalb in nur 5 bis 15 Minuten nach dem Durchtritt des Kopfes durch die Scham geboren sein (Traulsen & Tischer 2013, S. 8 ).



Abbildung 7: In der Austreibungsphase wird das Kalb zur Welt gebracht (Traulsen & Tischer 2013, S. 8 ).

Die Nachgeburtphase dauert 6 bis 12 Stunden und dabei verliert die Kuh das restliche Fruchtwasser und die Nachgeburt (Traulsen & Tischer 2013, S. 8 ).

### 3.2 Erkenntnisse aus den Interviews

Ziel der Interviews ist einerseits, die Erkenntnisse aus der Literaturrecherche zu validieren und zu ergänzen. Andererseits sollen die Interviews auch Klarheit darüber bringen, wie stark die Anwesenheit oder Abwesenheit von bestimmten Eigenschaften als Hinweis für eine bevorstehende Entbindung gedeutet werden sollen.

Jedes Merkmal wird bewertet, um zu beschreiben, wie stark dessen Anwesenheit oder Abwesenheit als Indikator einer bevorstehenden Geburt dient.

### 3.2.1 Kernaussagen aus Interviews

Gemäss Interview mit Dr. med. vet. Samuel Kohler ([Kohler 2020](#)) sind viele der Merkmale, die für Geburtsprognosen untersucht werden, eine direkte Folge von erhöhtem Östrogenspiegel. Dies bestätigt, dass die in der Literaturrecherche identifizierten Merkmale wie beispielsweise Scheidenausfluss von einem Computer als Geburtsanzeichen gedeutet werden dürfen. Die alleinige Anwesenheit eines Merkmals reicht jedoch bis auf wenige Ausnahmen nicht aus, um eine Geburt mit hoher Wahrscheinlichkeit zu prognostizieren. Zudem ist es laut Dr. med. vet. Samuel Kohler nicht möglich, aufgrund einer wissenschaftlichen Grundlage Kombinationen von Merkmalen mit entsprechenden Schwellwerten zu nennen, welche mit ausreichender Wahrscheinlichkeit auf eine Geburt hinweisen und dementsprechend eine Benachrichtigung auslösen müssen.

Eine Geburt ist physiologisch betrachtet auch ohne viele der Merkmale wie rötliche Färbung der äusseren Geschlechtsorgane und auch ohne Scheidenausfluss möglich. Demzufolge kann die Abwesenheit der meisten Merkmale nicht verwendet werden, um eine anstehende Geburt in den nächsten Stunden mit Sicherheit auszuschliessen ([Kohler 2020](#)).

Besonders wichtig für die vorliegende Arbeit sind jedoch die prädiktiven Merkmale, die immer eine Benachrichtigung auslösen müssen. Einerseits ist dies die Seitenlage mit gestreckten Beinen und andererseits die Anwesenheit der Wasser- oder Schleimblase. Dabei ist die Unterscheidung zwischen Wasserblase und Schleimblase nicht von Bedeutung. Unabhängig davon, welche Blase sichtbar ist, muss das System eine Benachrichtigung auslösen ([Kohler 2020](#)).

Die Erkenntnisse aus dem Interview mit Dr. med. vet. Gaby Hirsbrunner ([Hirsbrunner 2020](#)) stützen die Kernaussagen aus dem Interview mit Dr. med. vet. Samuel Kohler und das gewonnene Wissen aus der Literaturrecherche. Seitenlage und Sichtbarkeit der Wasser- oder Schleimblase gehören erneut zu den wichtigsten Geburtsanzeichen, die auf Bildern erfasst werden können. Dies bestätigt die Meinung, dass jedes dieser Merkmale auch ohne die Anwesenheit von weiteren Geburtsanzeichen eine Benachrichtigung an den Landwirten auslösen soll. Zudem bestätigt Dr. med. vet. Gaby Hirsbrunner die Meinung, dass die Abwesenheit der meisten Merkmale nicht in die Geburtsprognose einfließen sollte.

Die Aussagen von Dr. med. vet. Gaby Hirsbrunner verfeinern das Domänenwissen, indem die Seitenlage für Anbdindehaltung und Freilauf separat bewertet wird.

Gemäss (Hirsbrunner 2020) ist bei Anbindehaltung seitliches Liegen fast nur bei einer anstehenden Geburt zu beobachten (*Bewertung* = 9). Bei der Haltung in Freilauf kann dies durchaus häufiger geschehen und ist dementsprechend auch ein schwächerer Indikator für eine anstehende Geburt (*Bewertung* = 4).

Zudem sind weitere Erkenntnisse zur Erkennung von erschwerter Geburt für die vorliegende Arbeit besonders wertvoll. Blutiger Scheidenausfluss soll unbedingt als alarmierendes Zeichen interpretiert werden. Auch häufiges Trippeln kann als Symptom einer Verdrehung der Gebärmutter (Überwurf) auftreten. Sowohl blutiger Scheidenausfluss als auch häufiges Trippeln müssen daher eine Benachrichtigung auslösen (Hirsbrunner 2020).

Das beschriebene System muss für einen zweckmässigen Einsatz in der Landwirtschaft und im Veterinärwesen zuverlässig, kostengünstig und einfach in der Handhabung sein. (Hirsbrunner 2020). Um möglichst viele Merkmale zu erfassen, soll eine gut platzierte Kamera im Stall hinter der Kuh platziert sein (Hirsbrunner 2020), (Kohler 2020) und einen möglichst breiten Blickwinkel abdecken, damit die Kuh nicht aus dem Sichtfeld verschwindet Müller (2020b). Da laut der Meinung der Experten die Festlegung von Schwellwerten und Dimensionen nicht möglich ist (Hirsbrunner 2020), (Kohler 2020), konzentrieren sich die Benachrichtigungen des Systems in erster Linie auf den Namen des auftretenden Merkmals.

#### 3.2.2 Codierung von Domänenwissen aus Interviews

In Tabelle 4 wird Domänenwissen von Prof. Dr. med. vet. Samuel Kohler und Dr. med. vet. Gaby Hirsbrunner codiert. Dieses Wissen basiert auf der Erhebung mittels Durchführung von Interviews per Videotelefonie. Beide Interviewten haben die Anwesenheit und Abwesenheit von Merkmalen in Bezug auf die Stärke des Hinweises auf eine bevorstehende Geburt bewertet

Die Tabelle 4 besteht nebst der Aufzählung von Merkmalen aus den drei Spaltengruppen «Anwesenheit», «Abwesenheit» und «Mittelwert» (horizontale Beschriftung). Die Gruppen Anwesenheit und Abwesenheit repräsentieren dabei die Rohdaten, welche auf der Durchführung von Interviews basieren. Die Spalten der Gruppe Mittelwert entsprechen jeweils dem gewichteten Mittelwert der Rohdaten aus den vorgelagerten Spaltengruppen.

### 3 Domänenanalyse

---

Für die gesammelten Daten zur An- und Abwesenheit von Merkmalen existieren je vier Spalten. Eine Spalte repräsentiert jeweils die Bewertungen des Interviewten und eine weitere Spalte entspricht der Gewichtung dieser Bewertung. In Klammer sind die Initialen des Interviewten angegeben, also S.K. für Prof. Dr. med. vet. Samuel Kohler und G.H. für Dr. med. vet. Gaby Hirsbrunner.

Während der Durchführung der Interviews hatten die Interviewten die Möglichkeit, weitere Geburtsmerkmale hinzuzufügen und zu bewerten. Deshalb haben nicht beide Veterinäre sämtliche Merkmale bewertet. Falls ein Interviewter die Anwesenheit oder Abwesenheit eines Merkmals nicht bewertet hat, wird dies mit *Bewertung* = 99 codiert. Diese Bewertung wird dementsprechend nicht gewichtet, also entspricht die *Gewichtung* = 0.

Der gewichtete Mittelwert der Bewertung von An- und Abwesenheit dieser Merkmale dient als integraler Bestandteil des zu entwickelnden Systems. Dieses muss das gewonnene Domänenwissen einsetzen, um Kamerabilder mit Abkalbung von Kamerabildern ohne Abkalbung zu unterscheiden.

<b>Merkmal</b>	Anwesenheit				Abwesenheit				Mittelwert	
	<b>Bewertung (S.K.)</b>	<b>Gewichtung (S.K.)</b>	<b>Bewertung (G.H.)</b>	<b>Gewichtung (G.H.)</b>	<b>Bewertung (S.K.)</b>	<b>Gewichtung (S.K.)</b>	<b>Bewertung (G.H.)</b>	<b>Gewichtung (G.H.)</b>	<b>Anwesenheit</b>	<b>Abwesenheit</b>
Wiederkehrende Schwanzhebung	3	1	6	1	-2	1	0	1	4.5	-1.0
Wiederholtes Aufstehen und Abliegen	9	1	6	1	-2	1	0	1	7.5	-1.0
Häufiges hin-und-her-Treten (Trippeln)	7	1	2	1	-2	1	0	1	4.5	-1.0
Drehung des Kopfes zum Bauch hin	8	1	8	1	-7	1	0	1	8.0	-3.5
Rote Färbung der äusseren Geschlechtsorgane	4	1	0	1	-2	1	0	1	2.0	-1.0
Blutiger Scheidenausfluss	3	1	1	1	-2	1	0	1	2.0	-1.0
Klarer Scheidenausfluss	3	1	1	1	-2	1	0	1	2.0	-1.0
Eingefallene Beckenbänder	9	1	10	1	-8	1	-7	1	9.5	-7.5
Euterödem	2	1	7	1	-1	1	-9	1	4.5	-5.0
Glänzende Zitzen	4	1	8	1	-2	1	-9	1	6.0	-5.5
Tropfende Milch	6	1	2	1	-2	1	0	1	4.0	-1.0
Hyperplasie des Euters	1	1	6	1	-1	1	0	1	3.5	-0.5
Schleimsekretion	8	1	6	1	-2	1	0	1	7.0	-1.0
Schamlippenödem	6	1	7	1	-8	1	0	1	6.5	-4.0
Seitliches Liegen	8	1	99	0	99	0	0	1	8.0	0.0
Seitliches Liegen bei Anbindehaltung (nur G.H.)	99	0	9	1	99	0	99	0	9.0	0.0
Seitliches Liegen bei Freilauf (nur G.H.)	99	0	4	1	99	0	99	0	4.0	0.0
Seitliches Liegen mit Abdominalkontraktion	10	1	10	1	-7	1	0	1	10.0	-3.5
Wasser- und Schleimblase	99	0	10	1	99	0	0	1	10.0	0.0

Tabelle 4: Bewertung der Anwesenheit und Abwesenheit von Merkmalen als Indikator einer bevorstehenden Geburt.

<b>Merkmal</b>	<b>Häufigkeit</b>	<b>Vorbereitungsphase (4 Tage)</b>			
		<b>Vorbereitungsphase (24h)</b>	<b>Öffnungsphase</b>	<b>Aufweitungsphase</b>	<b>Austreibungsphase</b>
Wiederkehrende Schwanzhebung	häufig	x	x		
Wiederholtes Aufstehen und Abliegen	häufig		x		
Häufiges hin-und-her-Treten (Trippeln)	häufig		x		
Drehung des Kopfes zum Bauch hin	immer	x	x		
Rote Färbung der äusseren Geschlechtsorgane	häufig		x	x	
Blutiger Scheidenausfluss	häufig		x	x	
Klarer Scheidenausfluss	häufig		x	x	
Eingefallene Beckenbänder	immer	x	x		
Euterödem	häufig	x	x		
Glänzende Zitzen	häufig	x	x		
Tropfende Milch	selten-häufig	x	x		
Hyperplasie des Euters	immer	x			
Schleimsekretion	häufig		x	x	
Schamlippenödem	immer	x	x		
Seitliches Liegen mit Abdominalkontraktion	immer		x	x	x

Tabelle 5: Zuordnung von Merkmalen zu Geburtsphasen und Bewertung der Häufigkeiten von Merkmalen (Samuel Kohler)

<b>Merkmal</b>	<b>Häufigkeit</b>	<b>Vorbereitungsphase (4 Tage)</b>		<b>Vorbereitungsphase (24h)</b>		<b>Eröffnungsphase</b>	<b>Austreibungsphase</b>	<b>Nachgeburtssphase</b>
		x	x	x	x			
Wiederkehrende Schwanzhebung	häufig		x	x	x			
Wiederholtes Aufstehen und Abliegen	häufig			x	x			
Häufiges hin-und-her-Treten (Trippeln)	selten	x	x					
Drehung des Kopfes zum Bauch hin	häufig					x		
Rote Färbung der äusseren Geschlechtsorgane	nicht zutreffend							
Blutiger Scheidenausfluss	nicht zutreffend							
Klarer Scheidenausfluss	immer	x						
Eingefallene Beckenbänder	immer		x	x				
Euterödem	selten	x	x					
Glänzende Zitzen	häufig		x	x				
Tropfende Milch	häufig		x	x	x			
Hyperplasie des Euters	immer	x	x					
Schleimsekretion	immer	x						
Schamlippenödem	häufig	x	x					
Seitliches Liegen ohne Abdominalkontraktion	häufig					x		
Seitliches Liegen mit Abdominalkontraktion	immer						x	
Wasserblase	immer			x				
Schleimblase	immer				x			

Tabelle 6: Zuordnung von Merkmalen zu Geburtsphasen und Bewertung der Häufigkeiten von Merkmalen (Gaby Hirsbrunner)

### 3.3 Bildmaterial aus ersten Tests

In der Nacht vom 31. März 2020 auf den 1. April 2020 ist auf dem Betrieb vom Auftraggeber Peter Müller ein Kalb geboren. Das Bildmaterial zur Geburt zeigt einige Geburtsanzeichen, welche Merkmale aus der Literaturrecherche und aus Interviews beispielhaft veranschaulichen. Zudem ist auf den Bildern gemäss Aussage von ([Müller 2020a](#)) klar erkennbar, wie die Klauen des Kalbes aus der Kuh austreten. Diese Erkenntnis ergänzt das Wissen aus der bisherigen Domänenanalyse. Folgend die wichtigsten Ergebnisse von der Klassifikation der Kamerabilder.



Abbildung 8: Austritt der Klauen des Kalbes ([Müller 2020a](#))



Abbildung 9: Seitliches Liegen kurz vor der Geburt des Kalbes



Abbildung 10: Kamerabild der Schwanzhebung



Abbildung 11: Schleim im Schambereich der Kuh kurz vor der Geburt



Abbildung 12: Die Nachgeburt wird ausgelöst.

## 3.4 Domänenmodell

### 3.4.1 Legende zu den Diagrammen

Farbe	Beschreibung
Grün	Natürliche Gegenstände im Domänenmodell und Value Objects in der Bibliothek, welche diese natürlichen Gegenstände beschreiben.
Lila	Ressourcen und Faktoren, welche es zu optimieren gilt und Value Objects in der Bibliothek, welche diese zu optimierenden Gegenstände beschreiben.
Blau	Objekte oder Resultate der Domäne Image-Analysis. Zudem Value Objects in der Bibliothek, welche die Gegenstände dieser Domäne beschreiben.
Braun	Tatsächlicher Kern der Domäne Image-Analysis. Dieser Kern implementiert das wichtigste Domänenwissen und zentrale Funktionen.
Violett	Objekte, die zum Versenden von Benachrichtigungen benötigt werden und Value Objects in der Bibliothek, welche die Gegenstände dieser Domäne beschreiben.
Grau	Paket für die Konfiguration der Benachrichtigungen und Value Objects in der Bibliothek, welche die Gegenstände dieser Domäne beschreiben.
Gelb	Value Objects, welche direkt im Domänenmodell oder in der Lösungsdokumentation eingebettet sind. Zudem Value Objects die nicht kategorisiert werden können, da diese in mehreren Paketen eingesetzt werden.
Orange	Paket Housekeeping und Klassen vom Paket ImageAnalysis, welche dem Housekeeping dienen.

Tabelle 7: Legende fürs Domänenmodell und für die UML-Diagramme als Lösungsdokumentation

### 3.4.2 Domänenmodell Geburt

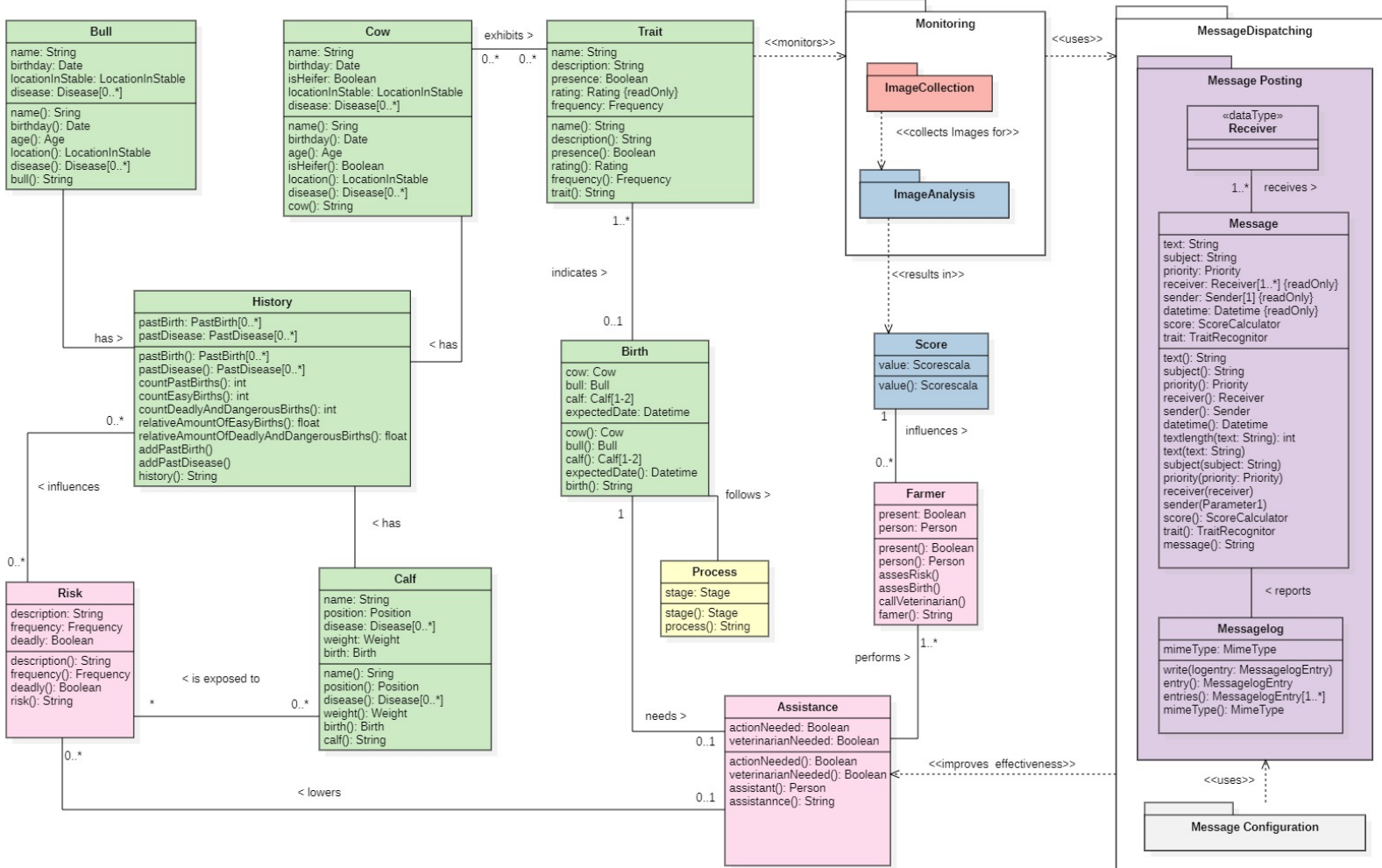


Abbildung 13: Domänenmodell Kalbsgeburts

### 3.4.3 Allgemeine Bibliothek an Value Objects

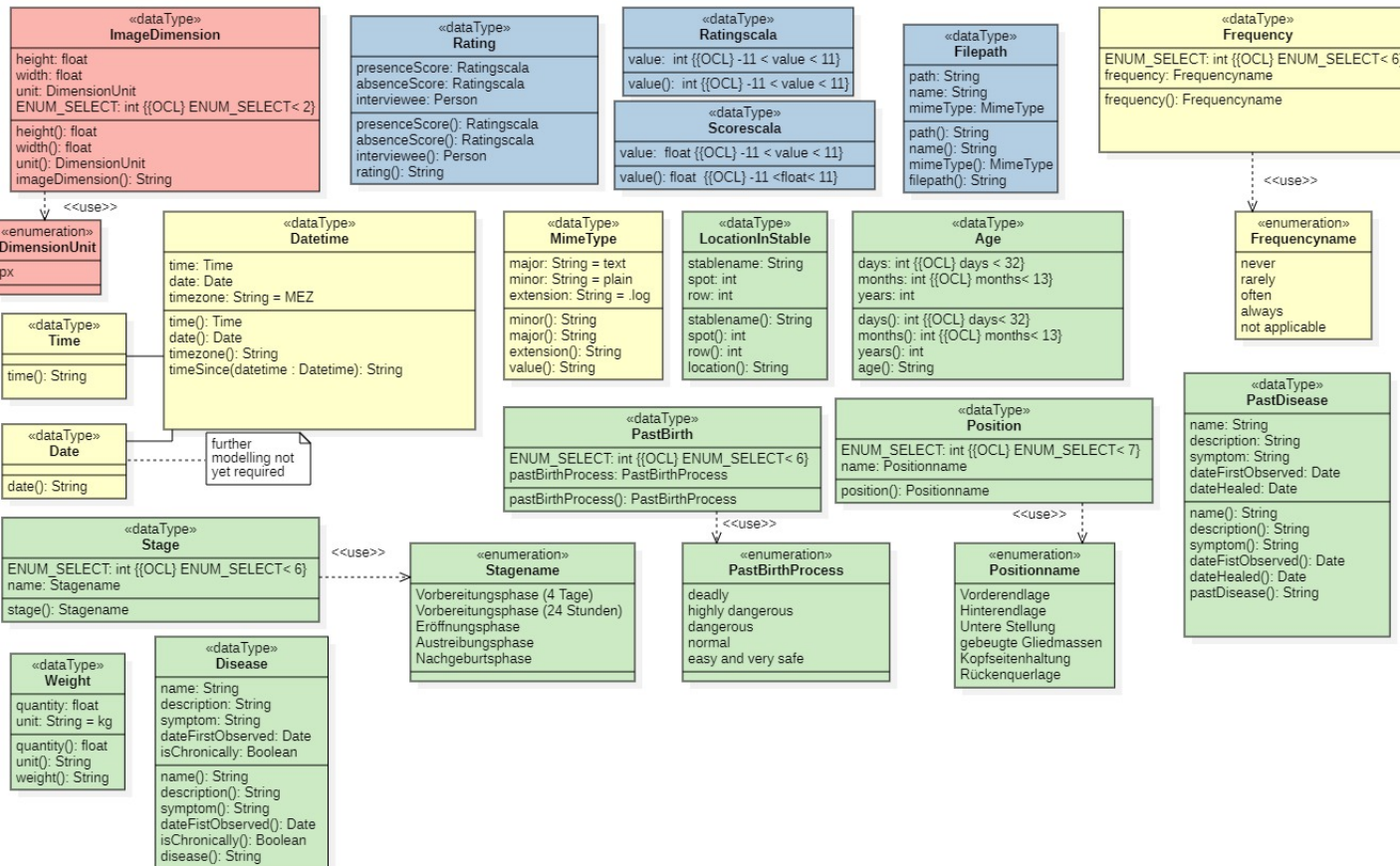


Abbildung 14: Allgemeine Bibliothek an Value Objects

### 3.4.4 Bibliothek an Value Objects zur Konfiguration und zum Versand von Nachrichten

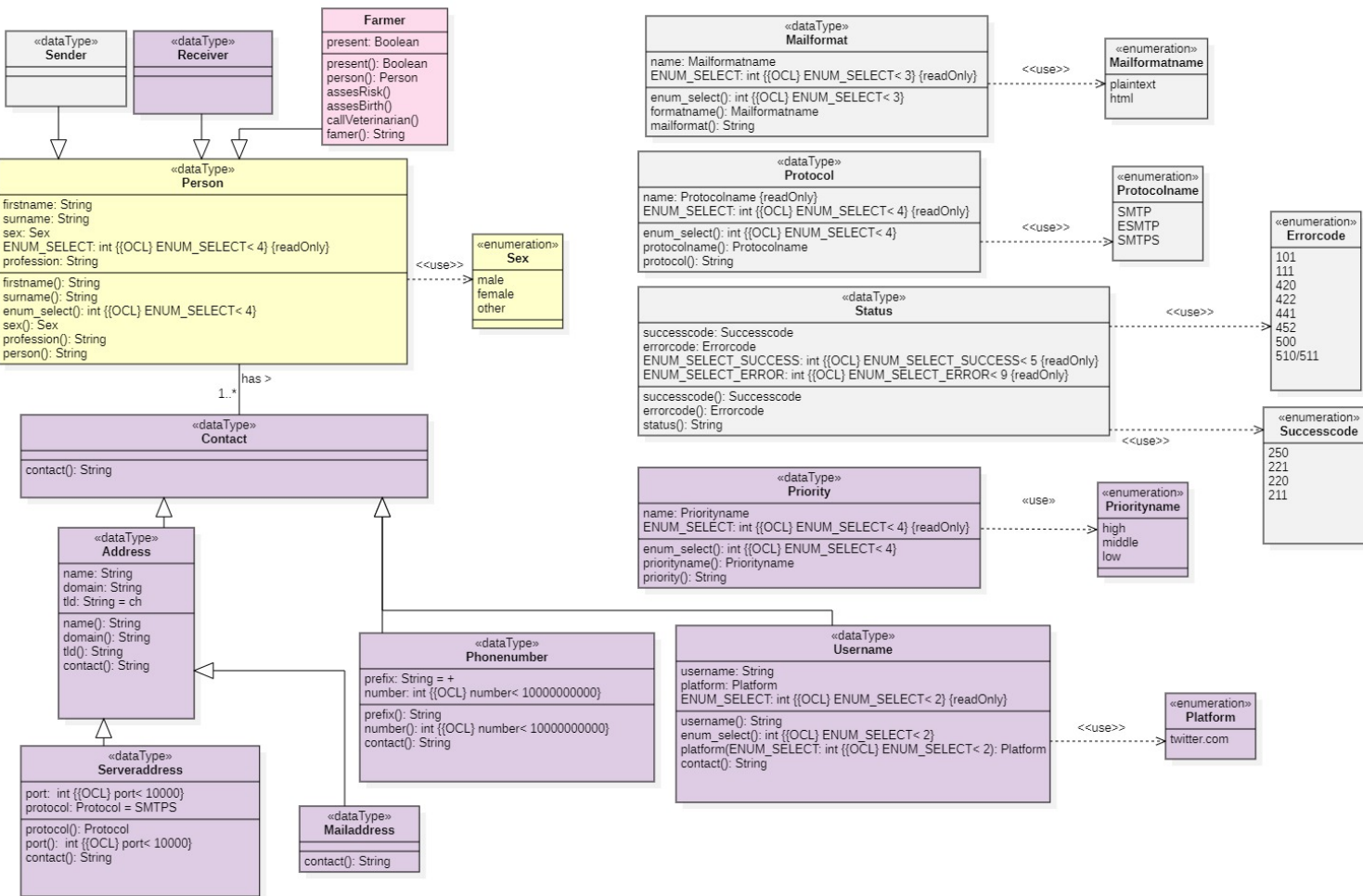


Abbildung 15: Bibliothek an Value Objects bezüglich Konfiguration und Versand von Nachrichten

# 4 Lösung

## 4.1 Codierung von Domänenwissen

Tabelle xx («VERWEIS AUF TABELLE EINFÜGEN») codiert Domänenwissen von Tierärzten, welches für die Geburtsprognose von Bedeutung ist. Expertenwissen ist so codiert, dass jedes Geburtsmerkmal mit einer Gewichtung versehen ist. Somit hat das Merkmal an Stelle  $i$  die Gewichtung  $\lambda_i$ .

Wie in Formel 1 formalisiert, werden bei Erkennung eines oder mehrerer Merkmale in einem Bild, die Gewichtungen dieser Merkmale addiert. Merkmale, welche als Geburtsanzeichen dienen, haben eine positive Gewichtung und erhöhen dadurch das Endergebnis. Merkmale, welche darauf hinweisen, dass zurzeit keine Entbindung stattfindet, haben eine negative Gewichtung und senken das Endergebnis.

Das Resultat dieser Berechnung bezeichnet der Autor als «qualitative Situationsbewertung». Diese wird mit einem Schwellwert verglichen, um zu entscheiden, ob eine Benachrichtigung verschickt wird.

Dabei kann die qualitative Situationsbewertung anhand der folgenden Linearkombination ermittelt werden:

$$v = h(x) = \sum_{i=1}^n \lambda_i * x_i \quad (1)$$

Wobei  $\lambda_i$  sich aus der fachlichen Gewichtung  $\kappa_i$  und der technischen Qualitätsbeurteilung  $\beta_i$  zusammensetzt. Die Skala zur Bewertung reicht von -10 bis 10, daher ergibt sich  $\lambda = \kappa = \beta = \{ m \mid m \in \mathbb{Z}, -10 \leq m \leq 10 \}$ .

Die fachliche Gewichtung eines Merkmals entspricht der Bewertung der Stärke des Hinweises in Bezug auf eine bevorstehende Geburt. Dementsprechend codiert  $\kappa$  Domänenwissen von Tierärzten zur merkmalsbezogene Einschätzung und Prognose des Geburtsverlaufs.

Die technische Qualitätsbeurteilung basiert auf der Güte der technischen Mittel zwecks Analyse der An- oder Abwesenheit eines Merkmals in einem Bild. Dementsprechend wird  $\beta$  benötigt, weil nicht sämtliche Merkmale mit derselben Qualität auf deren An- oder Abwesenheit überprüft werden können.

Zwischen den beiden Gewichtungen  $\kappa$  und  $\beta$  existiert eine schwache Beziehung. Dies wird dadurch begründet, dass technische Zuverlässigkeit die Anwesenheit eines Merkmals nicht überbewertet soll. Beispielsweise soll eine besonders hohe technische Qualitätsbeurteilung und eine tiefe fachliche Gewichtung nicht in einer hohen Gewichtung resultieren. Um diese zwei Gewichtungen schwach miteinander in Beziehung zu setzen, werden diese addiert und nicht multipliziert. Es gilt also:

$$\lambda_i = \kappa_i + \beta_i$$

Zudem codiert  $x_i$  die Anwesenheit ( $x_i = 1$ ) oder die Abwesenheit ( $x_i = 0$ ) eines spezifischen Merkmals auf einem Bild. Es gilt dementsprechend  $x_i \in \{0, 1\}$ .

Setzen wir diese Erkenntnisse zusammen, so ergibt sich

$$v = h(x) = \sum_{i=1}^n (\kappa_i + \beta_i) * x_i \quad (2)$$

wobei:  $x \in \{0, 1\}$  und  $\kappa = \beta = \{m \mid m \in \mathbb{Z}, -10 \leq m \leq 10\}$ .

Das Ergebnis dieser Rechenoperation ergibt wie bereits erwähnt die qualitative Situationsbewertung  $v$ , welche mit einem Schwellwert verglichen wird. Dies wird formal wie folgt ausgedrückt:

$$y = g(v) = \begin{cases} 1, & \text{wenn } v > q \\ 0, & \text{wenn } v \leq q \end{cases} \quad (3)$$

Dabei steht  $q$  für den Schwellwert, welcher in der Domänenanalyse ermittelt wird. Das Ergebnis  $y = 1$  bedeutet, dass eine Benachrichtigung ausgelöst wird, während bei  $y = 0$  keine Benachrichtigung ausgelöst wird.

## 4.2 Modellierung der Lösung

Für die Dokumentation der Lösung verwendet der Autor die UML-Notation. Zwei Kassendiagramme beschreiben das System aus jeweils unterschiedlichen Perspektiven Rupp et al. (2012).

#### 4.2.1 Klassendiagramm des Pakets Image-Analysis

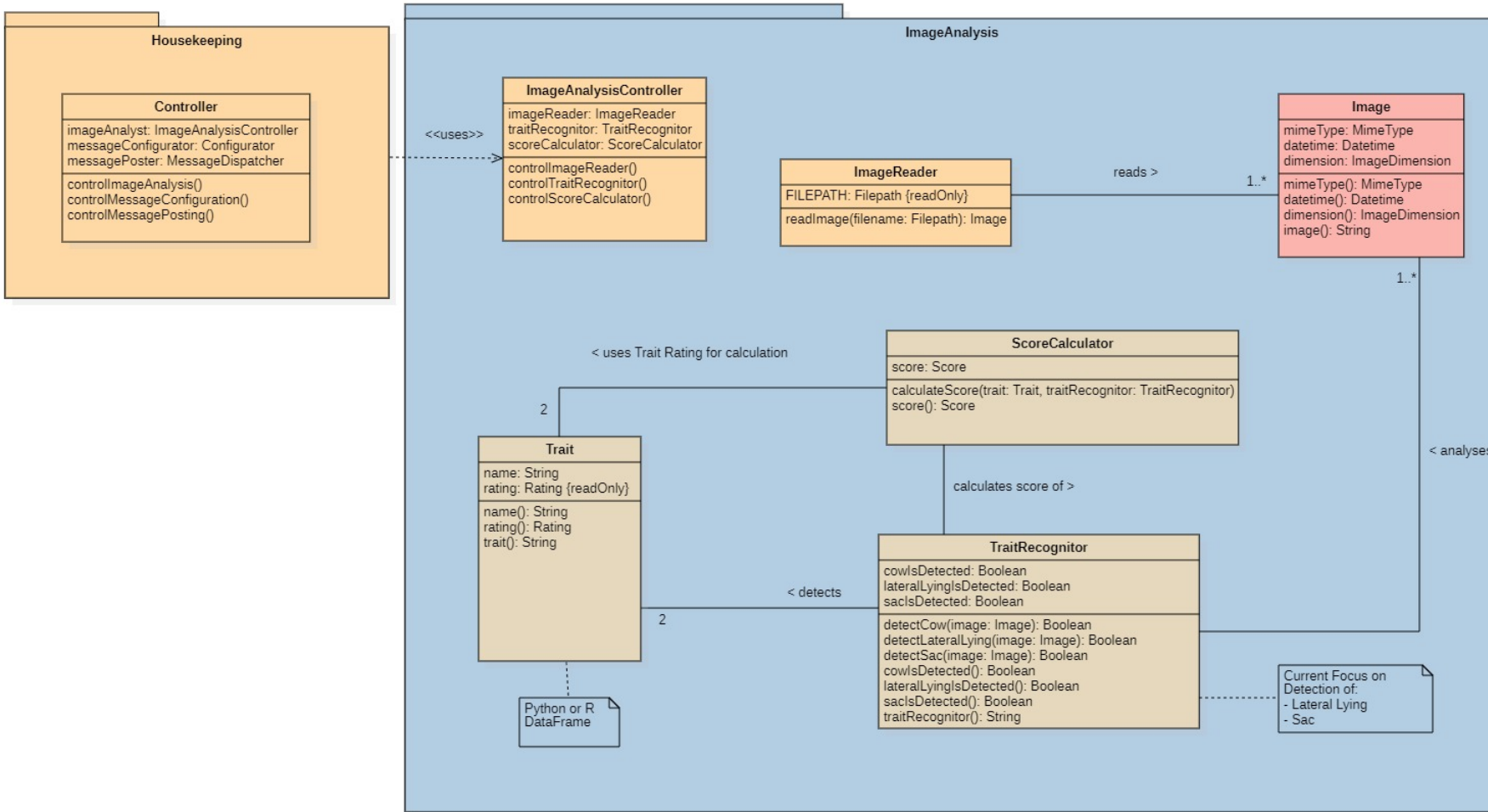


Abbildung 16: Lösungsdokumentation des Pakets Image-Analysis zur Geburtsprognose und Geburtserkennung.

## 4.2.2 Klassendiagramm der Pakete Message-Configuration und Message-Posting

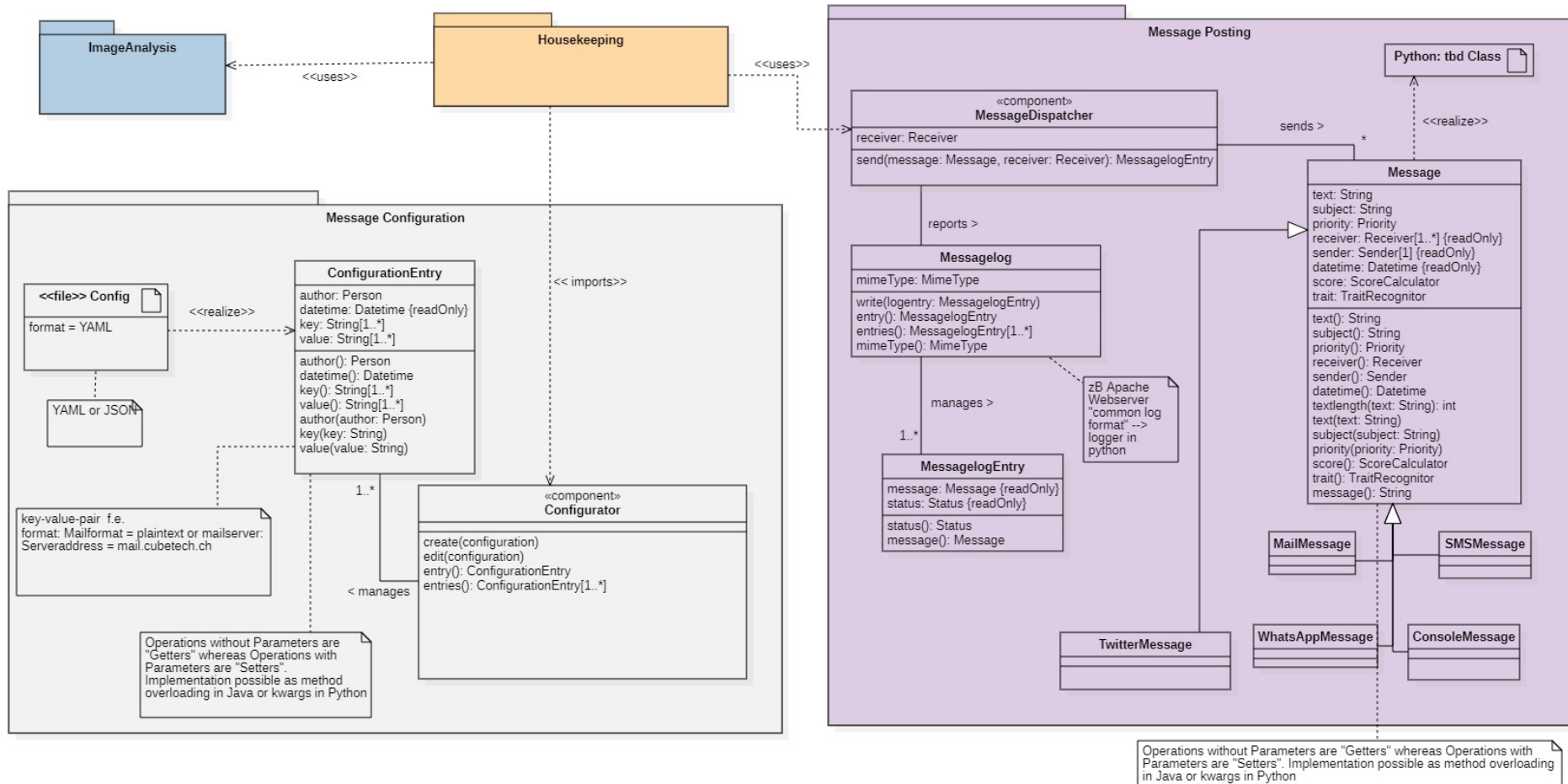


Abbildung 17: Lösungsdokumentation der Pakete Message-Configuration zur Konfiguration und Message Posting zum Versand von Benachrichtigungen.

### 4.2.3 Value-Object-Bibliothek

Die Bibliothek an Value Objects wird gemäss Kapitel 3 Domänenanalyse eingesetzt.

Zusammenfassend ist erwähnenswert,...

### **4.3 Überlegungen für den Betrieb**

Um einen stabilen Betrieb von elektronischen Geräten und dem Netzwerk auf einem Bauernhof sicherzustellen, müssen folgende Überlegungen gemacht werden:

## 4.4 Umsetzung in Entwicklung

Um die schrittweise Entwicklung und entsprechende Teilergebnisse der Bildbearbeitung zu veranschaulichen, dient die zufällig ausgewählte Abbildung 18 als Ausgangsbild. Dieses Bild wurde vom System erstellt, welches im Rahmen der erwähnten Case-Arbeit entwickelt wurde. Anschliessend wurde das Bild mit der Funktion `add()` heller gemacht und mit den Funktionen `createCLAHE()` und `clahe.apply()` wurde das Histogramm des Bildes geglättet.



Abbildung 18: Beispielbild als Ausgangslage zur Veranschaulichung des Vorgehens

Abbildung 19 zeigt auf der linken Seite das Histogramm des Originalbilds und auf der rechten Seite das Histogramm des aufgehellten und geglätteten Bilds. Dabei fällt auf, dass aufgrund der Aufhellung im Histogramm des Bearbeiteten Bilds

mehr Werte im rechten Bereich liegen und aufgrund der Glättung die Anzahl Pixel weniger stark auf einen Bereich konzentriert sind.

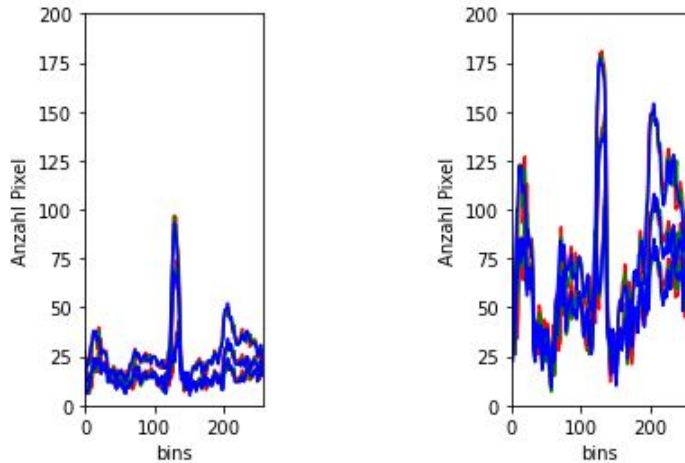


Abbildung 19: Vergleich der Histogramme vor und nach Bildbearbeitung

#### 4.4.1 Detektierung von unwichtigen Bereichen im Bild

In einem ersten Schritt setzt sich der Autor zum Ziel, unwichtige Bereiche im Bild zu identifizieren. Dies umfasst Bereiche, welche mit hoher Wahrscheinlichkeit nicht Teile einer Kuh oder eines Kalbs zeigen. Im betrachteten Bild wird zuerst versucht, die Lampe, den schwach beleuchteten Teil des Stallbodens und den Holzträger zu erkennen. Die Farbwerte dieser Teile im Bild unterscheiden sich stark zu den meisten Farben im Kuhfell.

Um dies zu erreichen, wird in einem ersten Schritt ein Farbbereich für die Lampe definiert. Um einen Richtwert für diesen Farbwert zu erhalten, wird mithilfe des Grafikprogramms GIMP (Version 2.10, [www.gimp.org](http://www.gimp.org)) ein Farbwert im Bereich der Lampe ausgelesen. Auf Basis dieses Richtwerts kann anschliessend ein unterer und oberer Schwellwert für die Farbwerte der zu identifizierenden Lampe definiert werden. Diese Schwellwerte werden der Funktion `inRange()` von OpenCV zwecks Erstellung eines Binärbilds übergeben. Sämtliche Bereiche mit Farbwerten, die sich zwischen den definierten Schwellwerten befinden, werden im resultierenden Bild weiss dargestellt. Diese entsprechen den vermutlich unwichtigen Bereichen im Bild. Alle anderen Bereiche sind im erstellen Binärbild schwarz dargestellt **21**. Dieses Binärbild identifiziert auch einige dunkle Regionen im Deckenbereich als unwichtig.



Abbildung 20: Binärbild, welches den Bereich der Lampe weiss darstellt

Dasselbe Vorgehen wird angewendet, um den Bereich des Stallbodens und Holzträgers zu identifizieren.

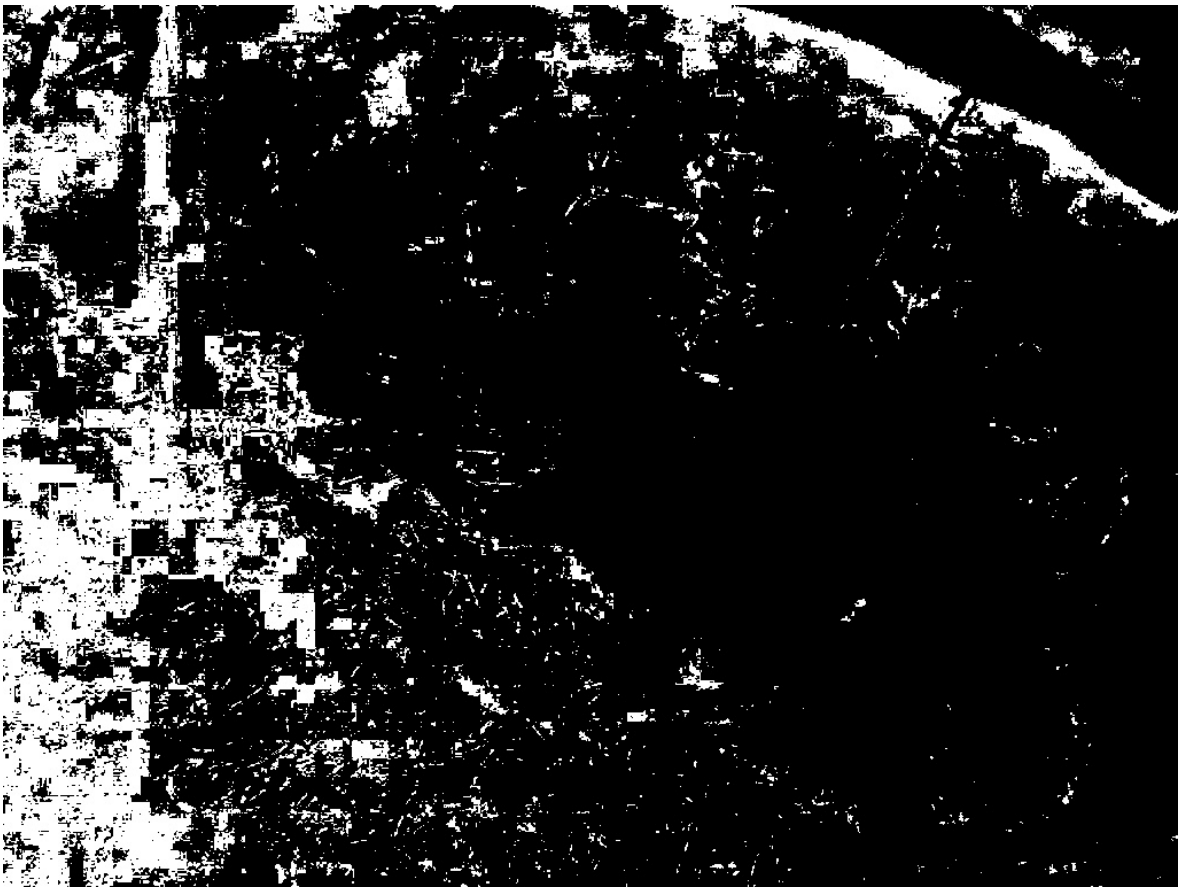


Abbildung 21: Binärbild, welches den Bereich des Stallbodens und Holzträgers weiss darstellt

Aus diesen zwei Binärbildern wird nun ein Binärbild erstellt, welches sämtliche Regionen weiss darstellt, die in einem oder beiden Bildern bereits weiss sind. Dies bedeutet, dass die in einem oder in beiden Binärbildern als unwichtig identifizierten Bereiche in einem neuen Binärbild kombiniert werden. Um dies zu erreichen, wird die Funktion `bitwise_or` von OpenCV mit den beiden Binärbildern als Argumente aufgerufen.

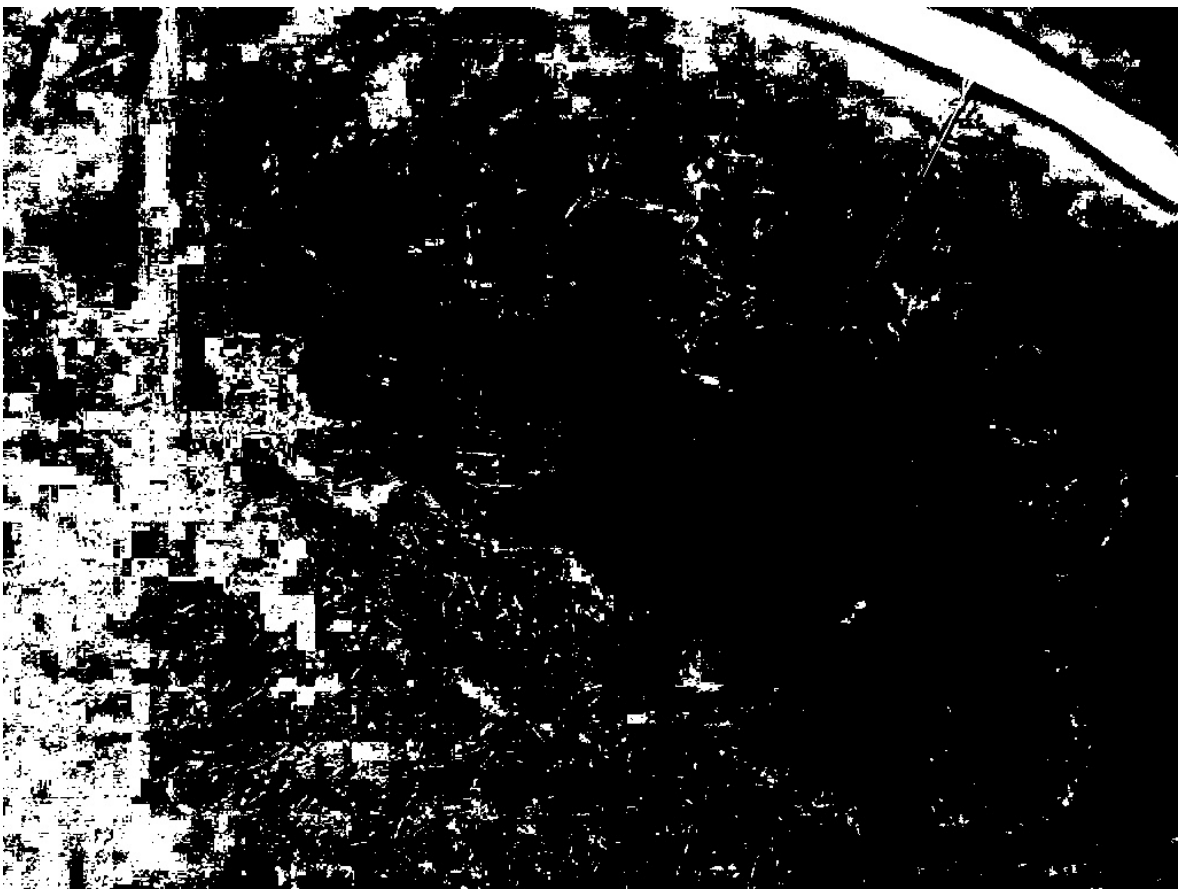


Abbildung 22: Binärbild, welches die vorherigen Binärbilder von unwichtigen Regionen kombiniert

In einem weiteren Schritt können die als unwichtig identifizierten Bereiche als Konturen erkannt und somit ins Ausgangsbild eingezeichnet werden. Um dies zu erreichen, werden die Funktionen `findContours()` und `drawContours()` angewendet. Das Resultat ist in Abbildung 23 veranschaulicht.



Abbildung 23: Unwichtige Bereiche als Konturen

Nun gilt es, anhand von diesen als unwichtig identifizierten Konturen möglichst grosse Flächen aus dem Ausgangsbild zu löschen, respektive möglichst grosse Flächen mit schwarzer Farbe zu füllen. Um dies zu erreichen, wurden mehrere Verfahren getestet. Die Abbildungen 24 bis 27 veranschaulichen die entsprechenden Resultate unter Verwendung von OpenCV. In Abbildung 24 wurde die Funktion `approxPolyDP()` verwendet, um basierend auf den Konturen ein Vieleck zu approximieren. Abbildung 25 zeigt die Ergebnisse der Funktion `convexHull()`. Die Abbildung 26 nutzt die Funktion `minEnclosingCircle()` um Kreise zu finden, welche Konturen mit möglichst geringer Fläche umschließen. Zuletzt wurden für die Abbildung 27 mit der Funktion `boundingRect()` Rechtecke gebildet, welche die Konturen umschließen .

Als Vorbereitung für die Durchführung von diesen Verfahren wurde mittels `contourArea()`

jeweils die Fläche der Kontur berechnet und nur berücksichtigt, wenn diese mehr als 200 Pixel umfasst. Dadurch wird erreicht, dass beispielsweise Schatten unterhalb des Schwanzes oder der unterhalb der Beine der Kuh nicht berücksichtigt werden.



Abbildung 24: Unwichtige Bereiche als Polygone



Abbildung 25: Unwichtige Bereiche als konvexe Hülle

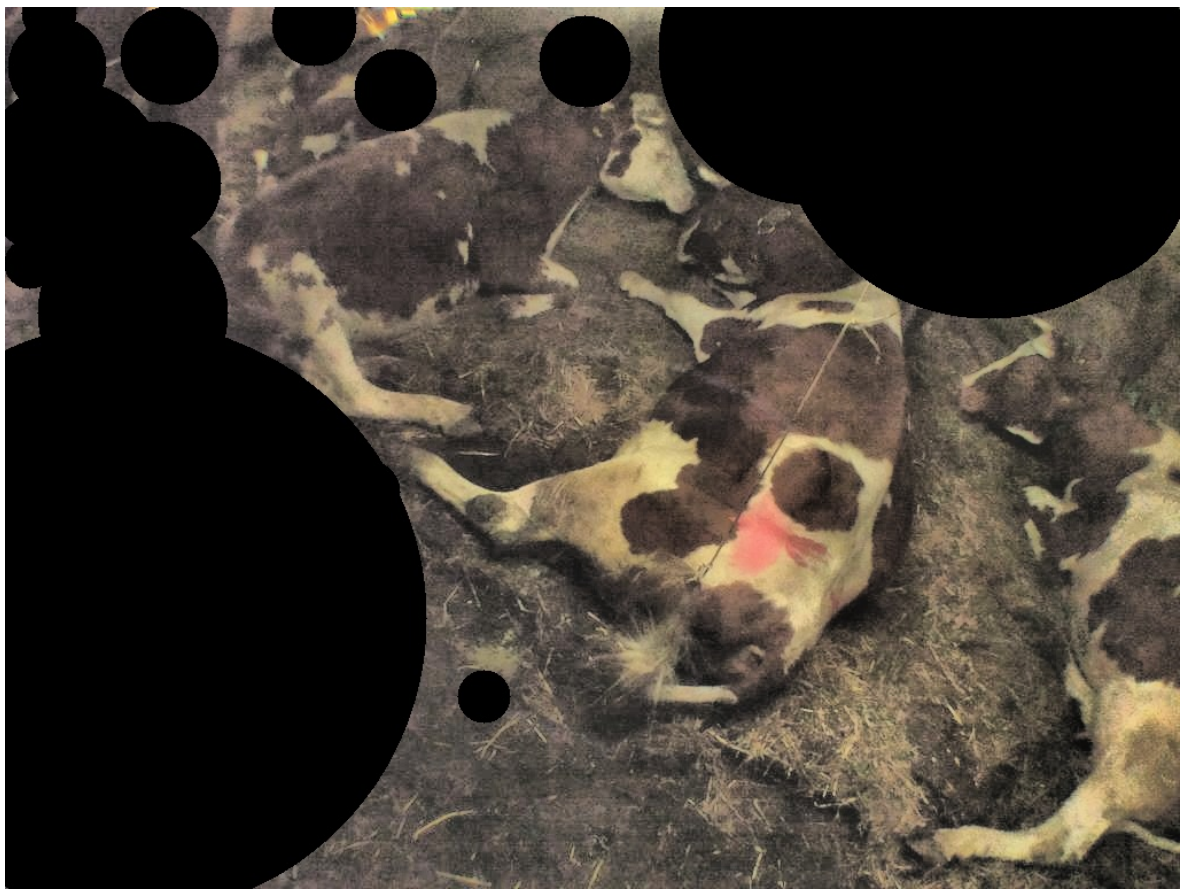


Abbildung 26: Unwichtige Bereiche als Kreise



Abbildung 27: Unwichtige Bereiche als Rechtecke

Die Verfahren, welche mittels `minEnclosingCircle()` und `boundingRect()` angewendet werden, ergeben im vorliegenden Kontext die besten Ergebnisse. Die als unwichtig identifizierte Flächen werden so maximiert und die Fehlerrate (Flächen von Kuh als unwichtig identifiziert) ist gering. Da perfekte Kreise in den Konturen von Kühen und Kälbern nicht vorkommen, entscheidet sich der Autor dafür, unwichtige Bereiche als schwarze Kreise einzulezeichnen. Zudem können diese Kreise in der weiteren Bildbearbeitung problemlos als solche erkannt werden.

#### 4.4.2 Detektierung von wichtigen Bereichen im Bild

Um nun das Potential aus der Detektierung von unwichtigen Bereichen zu veranschaulichen, wird in einem ersten Schritt ein Binärbild des Ausgangsbilds erstellt.

Dazu wird die Funktion `threshold()` mit dem Verfahren `THRESH_BINARY` und der Zahl 40 als Schwellwert eingesetzt.



Abbildung 28: Binärbild, welches aus dem Ausgangsbild erstellt wurde

In diesem Binärbild werden anschliessend analog zum Vorgehen bei der Detektierung von unwichtigen Bereichen unter Anwendung der Funktionen `findContours()` und `drawContours()` Konturen gesucht und im Ausgangsbild eingezeichnet.



Abbildung 29: Ausgangsbild mit rot eingefärbten Konturen

Nun ist klar zu erkennen, dass auch Konturen eingezeichnet werden, die klar als unwichtige Bereiche identifizierbar sind (in erster Linie die Lampe).

Aus diesem Grund nutzt der Autor die Information über unwichtige Bereiche, um nur noch Konturen zu berücksichtigen, die nicht in diesem Bereich liegen. Dementsprechend wird das in Abbildung ?? dargestellte Bild zur weiteren Analyse verwendet. In einem ersten Schritt wird die geglättete und aufgehelle Version dieses Bilds mit dem adaptiven Schwellwertverfahren bearbeitet. Um dies zu erreichen, wird die Funktion `adaptiveThreshold()` mit den Argumenten `THRESH_BINARY_INV` und `ADAPTIVE_THRESH_MEAN_C` aufgerufen. Das Ergebnis dieses Versuchs, wichtige Bereiche des Bilds zu detektieren, ist in Abbildung ?? ersichtlich.

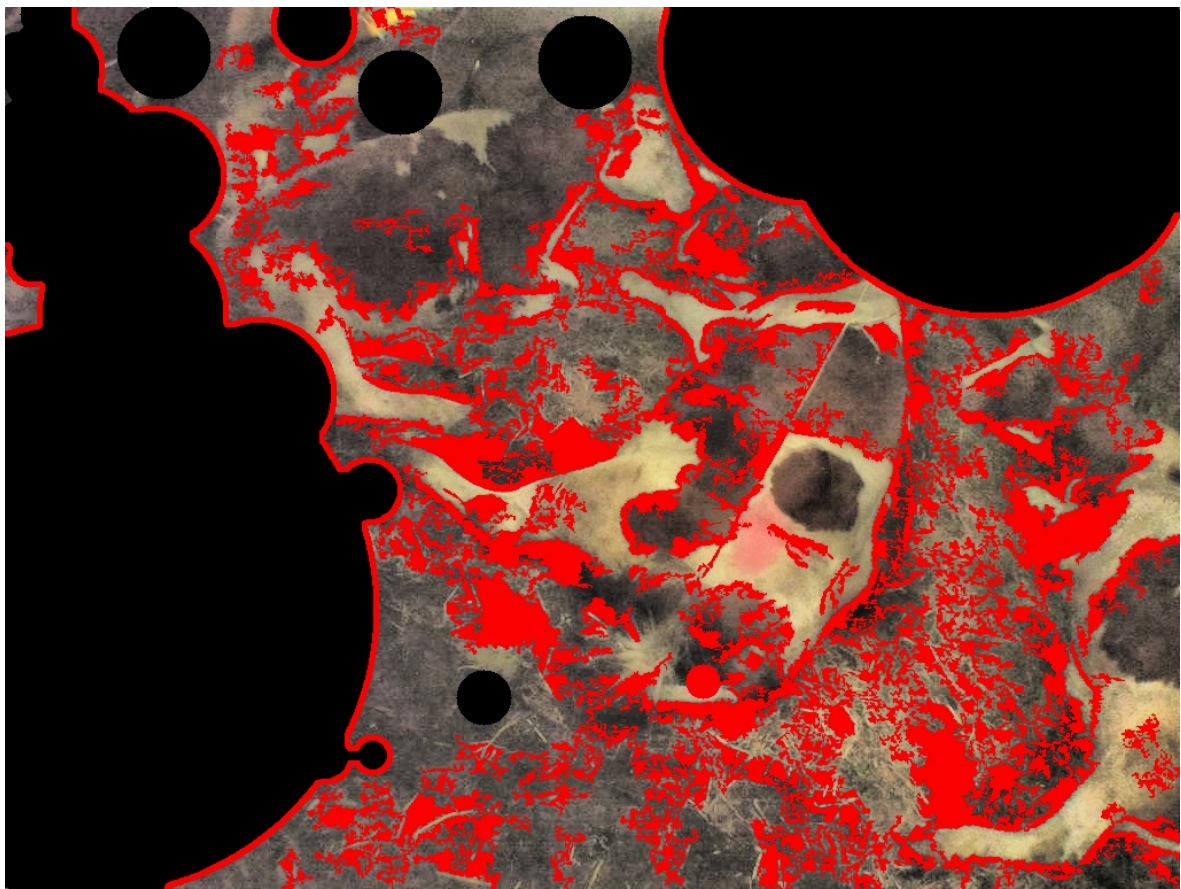


Abbildung 30: Versuch, aus geglättetem und aufgehellt Bild wichtige Bereiche zu detektieren

Das Ergebnis ist nicht brauchbar, weshalb der Versuch mit denselben Einstellungen aber mit einem nicht geglätteten Bild wiederholt wurde. Das Ergebnis ist in Abbildung ?? dargestellt und stellt ein besseres Zwischenergebnis dar. Als entsprechende Erkenntnis leitet der Autor ab, dass die Glättung von Histogrammen zwar die Bildqualität und Interpretationsfähigkeit für den Menschen steigert, aber im vorliegenden Kontext auch negativen Einfluss auf das Schwellwertverfahren haben kann.

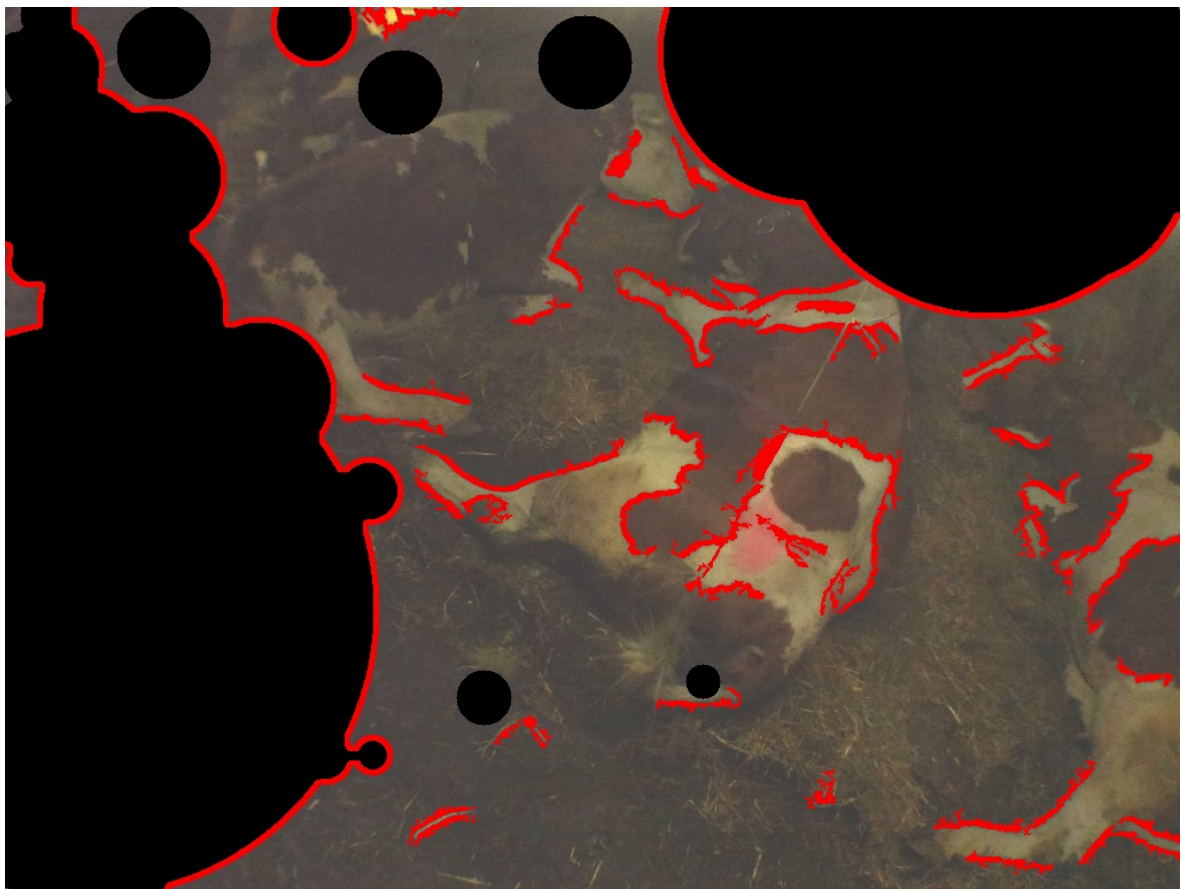


Abbildung 31: Versuch, aus nicht geglättetem Bild wichtige Bereiche zu detektieren

Abbildung ?? zeigt das Resultat einer vielversprechenden Analyse. Das Ergebnis ist aber insofern kritisch zu beurteilen, da die rote Farbe die gesamte Kontur ausfüllt, die detektiert wurde. Dementsprechend werden die Beine beispielsweise nicht als Kontur erkannt, sondern lediglich die Umrisse davon. Dies dient als Motivation, die Konfiguration des Schwellwertverfahren anzupassen. Demzufolge wurde mit der Funktion `threshold()` und den Argumenten `THRESH_BINARY` als Verfahrenstyp, und dem Wert `90` als Schwellwert. Das Ergebnis daraus ist in Abbildung ?? dargestellt. Zudem verbessert die Filterung von kleinen Konturen die Ergebnisse weiter. Dadurch werden die als unwichtig Identifizierten Kreise und Rausch wie beispielsweise Strohhaufen neben der Kuh nicht mehr berücksichtigt.

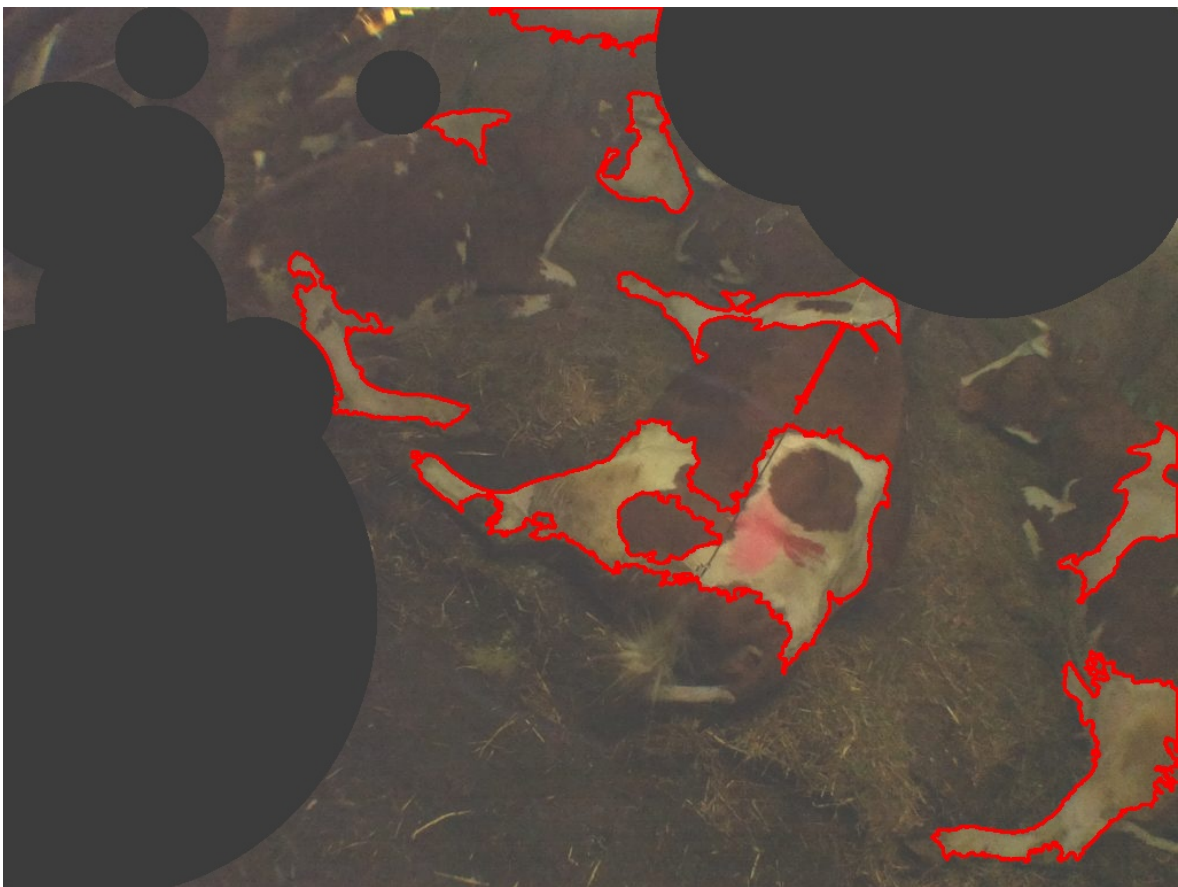


Abbildung 32: Ergebnisse nach angepasster Konfiguration des Schwellwertverfahrens

Es fällt nun auf, dass Flecken innerhalb der Kontur der Kuh erkannt werden. Da `findContours()` mit dem Argument `RETR_CCOMP` aufgerufen wird, werden auch Konturen innerhalb von den äusseren Konturen zurückgegeben und in eine Hierarchie eingeteilt. Die äusseren Konturen entsprechen in den meisten Fällen den Umrissen der Kuh. Zum aktuellen Zeitpunkt reicht es aus, nur diese Umrisse zu erkennen und dementsprechend wird `findContours()` mit dem Argument `RETR_EXTERNAL` aufgerufen. Das Ergebnis ist in Abbildung ?? sichtbar.

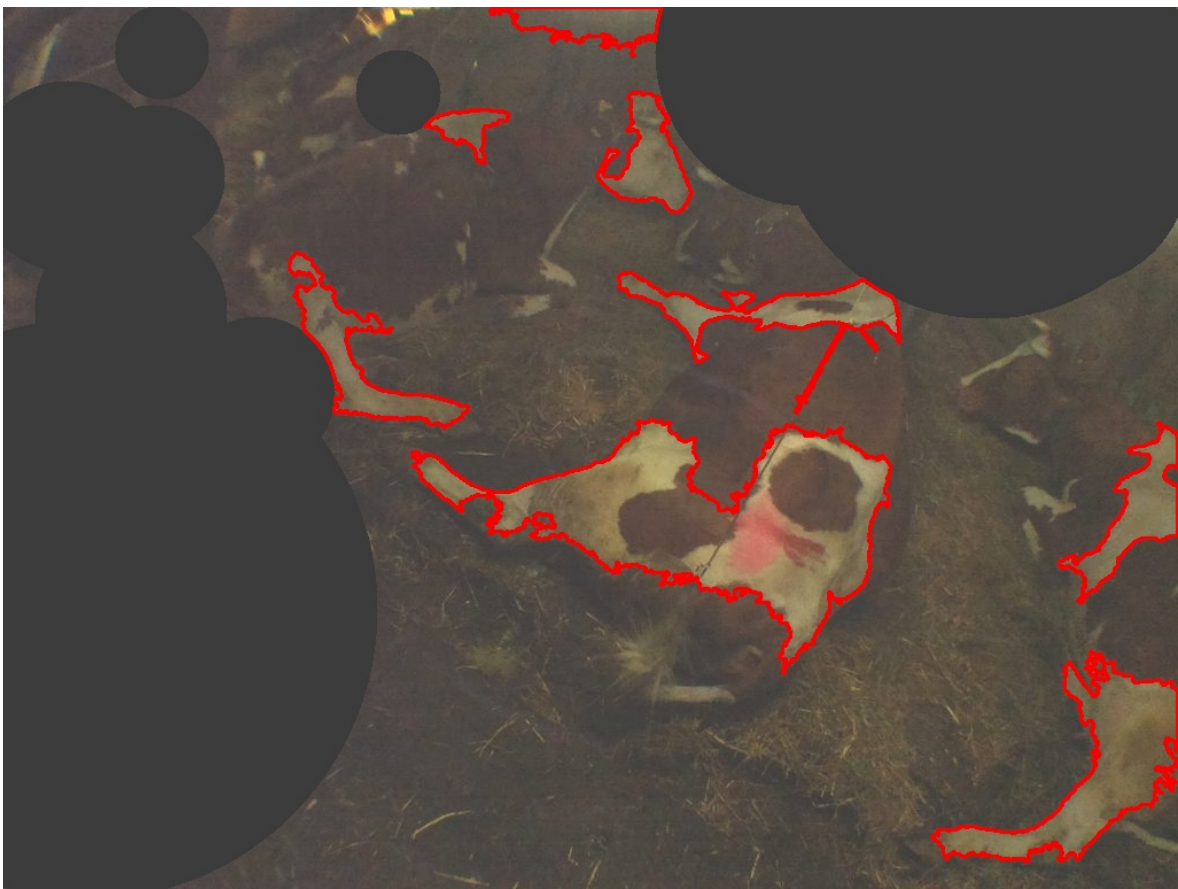


Abbildung 33: Ergebnisse nach angepasster Konfiguration des Contour Finders

Dabei unterscheiden sich die Ergebnisse bei der Anwendung von `findContours()` mit unterschiedlichen Approximationsverfahren wie `CHAIN_APPROX_SIMPLE`, `CHAIN_APPROX_TC89_L1`, `CHAIN_APPROX_TC89_KCOS` von der Deaktivierung der Approximation nicht wesentlich. Auch unterschiedliche Modi wie `RETR_LIST` oder `RETR_CCOMP` für die Identifizierung der Konturen ergeben in diesem Kontext identische Ergebnisse. Es werden jeweils die neun eingezeichneten Konturen identifiziert.

Da nun lediglich äussere Konturen detektiert werden, dürfen diese Konturen mit Farbe gefüllt werden, ohne relevante Informationen über Hierarchien zu vernichten (Abbildung 34).

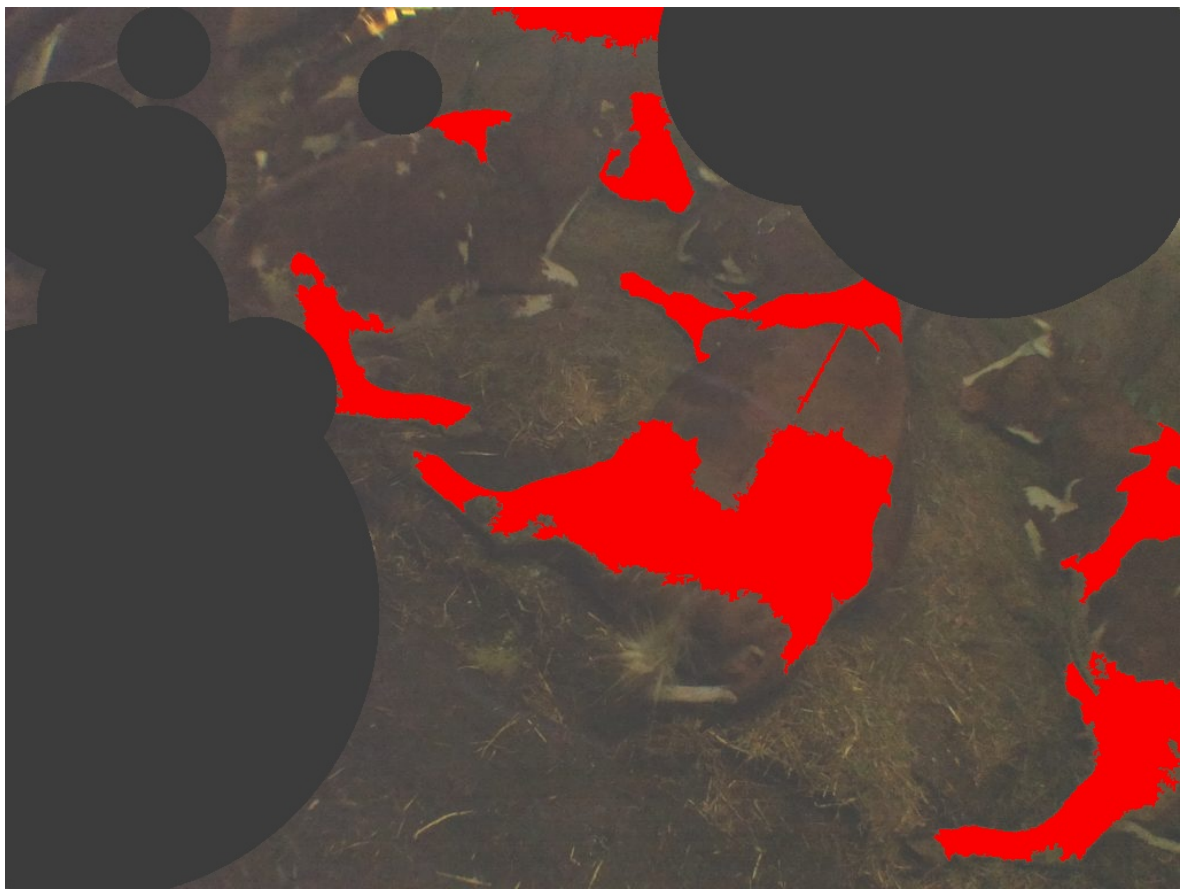


Abbildung 34: Konturen mit Farbe gefüllt

#### 4.4.3 Erkennung von seitlich liegender Kuh

Aus der Domänenanalyse und Experteninterviews hat sicher ergeben, dass seitliches Liegen ein starkes Geburtsanzeichen ist und entsprechend detektiert werden muss. Die Seitenlage charakterisiert sich unter anderem mit gestreckten Beinen. Um diese zu erkennen, um die detektierten Konturen weiter einzugrenzen, werden diese nach entsprechenden Winkeln gefiltert.

#### 4.4.3.1 Erkennung der Beine anhand von Winkel

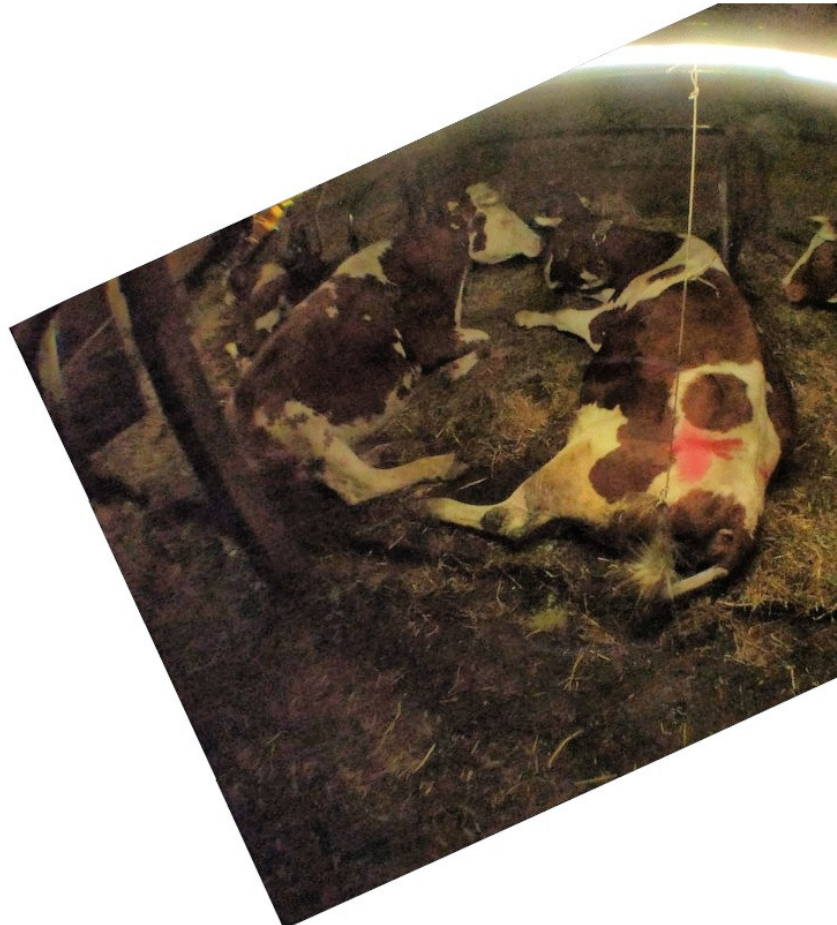


Abbildung 35: Veranschaulichung zur Analyse der Winkel

Dabei entspricht das ungefähr einer Rotation des Bildes... blbla gemäss Notizen

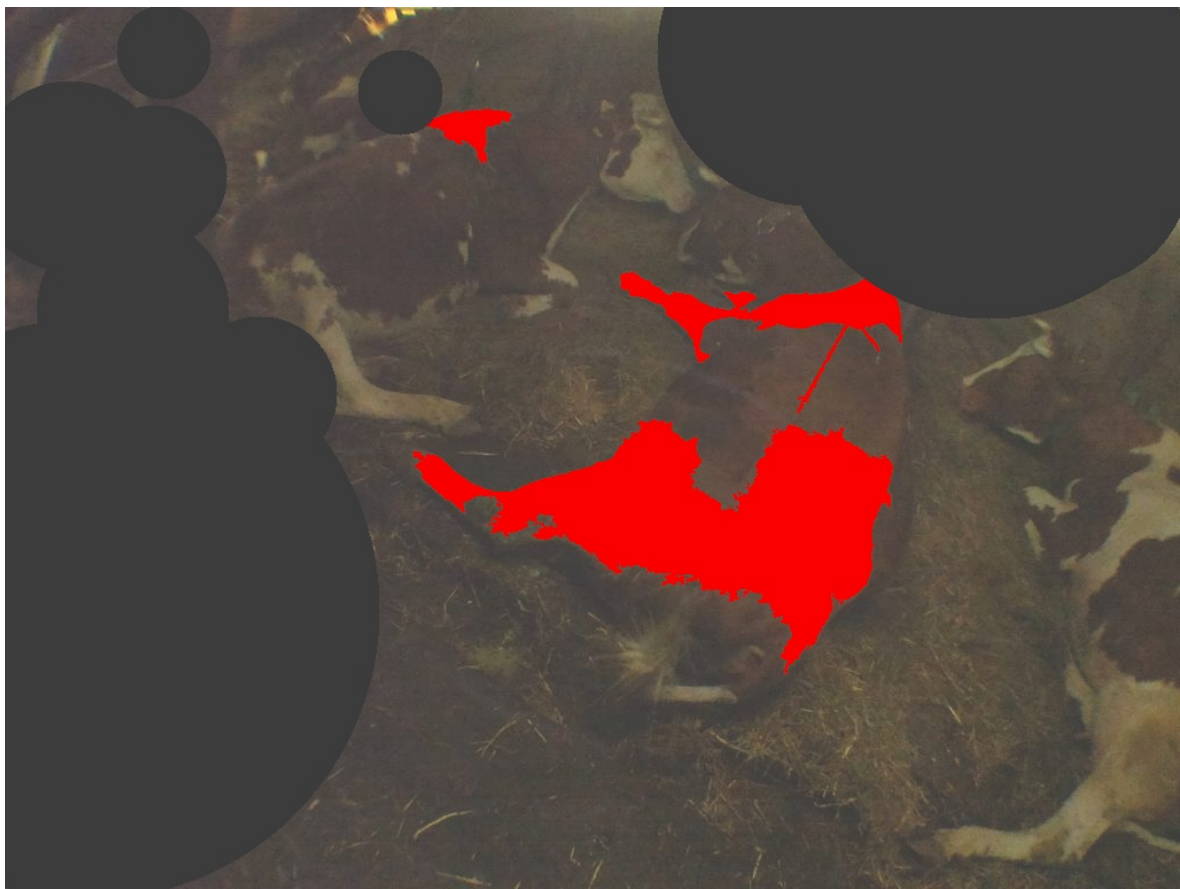


Abbildung 36: Ergebnisse nach Filterung der Konturen nach Winkel

#### 4.4.3.2 Erkennung der Beine anhand von Extent

Um diese Ergebnisse weiter zu analysieren, wurde mittels `minAreaRect()` ein für jede Kontur das Rechteck ermittelt, welches mit der kleinsten Fläche sämtliche Punkte der Kontur einschliesst 37.



Abbildung 37: Rechteck mit kleinsten Fläche, welches die Kontur einschliesst

Bei Betrachtung dieser Rechtecke stellt der Autor die Vermutung auf, dass sich die Beine der Kuh insbesondere bei zwei Eigenschaften stark von der weiteren, unerwünschten Kontur unterscheidet.

Zuerst wird da Verhältnis zwischen der Fläche der erkannten Kontur und der Fläche des Rechtecks, das die Kontur einschliesst betrachtet. Dieses Verhältnis wird nachfolgend Extent genannt.

Abbildung ?? verdeutlicht, dieses Verhältnis zwischen der roten Flächen und der Fläche der schwarzen Rechtecke. Der Autor erwartet, dass die Kontur der Beine gegenüber dem darum gebildeten Rechteck klein ist. Entsprechend wird für als Extent bei Beinen einen tiefen Wert angenommen im Vergleich zum Wert des Extent bei anderen Figuren. Dementsprechend wäre die Definition eines Maximalen

Schwellwertes denkbar, die ermittelt, ob es sich bei einer betrachteten Kontur um die Beine handelt.

$$Extent = \frac{\text{Fläche der Kontur}}{\text{Fläche umschliessendes Rechteck}} \quad (4)$$

Nun wird als Schwellwert für Extent 0.35 angenommen und entsprechend werden nur noch Konturen berücksichtigt, welche unterhalb dieses Werts liegen. In Abbildung 39 sind alle Konturen mit  $Extent < 0.35$  rot und alle Konturen mit  $Extent \geq 0.35$  grün eingefärbt. Der Autor stellt fest, dass der Wert für den Extent der unerwünschten Kontur zwischen den beiden Extenten der beiden Konturen der Beine liegt. Also ist in diesem Bild eine Klassifikation von Beinen und unerwünschten Konturen nicht möglich.



Abbildung 38: Veranschaulichung der Konturfläche in roter Farbe und des umschliessenden Rechtecks mit schwarzem Rahmen



Abbildung 39: Ergebnis der Filterung der Konturen nach Winkel und Extent

Um die Klassifikation mittels Extent weiter zu verfolgen, wird mit dem Schwellwert 35 eine Klassifikation sämtlicher Konturen vorgenommen. Also auch der Konturen, welche bereits aufgrund des Winkels klassifiziert wurden. Das Ergebnis ist in Abbildung 40 sichtbar. Nach wie vor sind Konturen mit  $Extent < 0.35$  rot und alle Konturen mit  $Extent \geq 0.35$  grün eingefärbt. Abbildung 40 veranschaulicht, dass dennoch sechs von acht Konturen korrekt klassifiziert wurden. Auf Basis dessen entscheidet sich der Autor, eine Filterung der Konturen umzusetzen mit dem Schwellwert 40. Dies erlaubt, Konturen wie den Kopf der Kuh auszuschliessen und macht dementsprechend das Ergebnis stabiler.



Abbildung 40: Ergebnis der Filterung der Konturen nach Extent

#### 4.4.3.3 Erkennung der Beine anhand von Aspect Ratio

1. Während die Rechtecke, welche die Beine einschliessen langgezogen sind, ist das andere Rechteck weniger langgezogen. Das Verhältnis zwischen der Höhe und der Breite der Rechtecke (engl: "Aspect Ratio") könnte also weitere Hinweise liefern.

# 5 Resultate

Zweites Feedback von Herrn Collovà noch nicht umgesetzt, da nur Notizen von mir. Es gibt auch nicht zu jeder Aussage hier Quellen, da es Vermutungen von mir sind, die ich noch verfolgen will.

**Der Inhalt dieses Kapitels kann im Moment als Notiz betrachtet werden.  
Ist noch nicht reingeschrieben.**

Wahrscheinlich wird es schwierig sein, verhaltensorientierte Merkmale zu identifizieren. Der Fokus liegt daher wohl eher an physiologischen Merkmalen. Es können aber auch nicht alle physiologischen Merkmale erfasst werden. Die Analysemethode schränkt die Anzahl Parameter ein, welche berücksichtigt werden können. Beispielsweise benötigt man für die Analyse der Abdominalkontraktion einen Bauchgurt oder für die Analyse der Bewegungsabläufe braucht man vermutlich Beschleunigungssensoren oder extrem ausfeilte Analyse von Videoaufnahmen.

Grobes Vorgehen zur Lösung nach ([Fernández Villán 2019](#), S. 256):

- Convert Image to grayscale by using cv2.cvtColor()
- Binarize them using cv2.threshold()
- find countours by using cv2.findContours()

Was ich bisher gemacht habe:

1. Bild einlesen
2. Bild heller machen; cv2.add()
3. Normalisierung der Helligkeit und Kontrast des Bildes erhöhen: «Histogram Equalization» mit dem Verfahren CLAHE im HSV-Color-Space (CLAHE = Contrast Limited Adaptive Histogram Equalization); cv2.createCLAHE()
4. Image in «Grayscale-Bild» umwandeln: cv2.cvtColor(equalized\_image, cv2.COLOR\_BGR2GRAY )
5. Gaussian-Filter anwenden, um «Noise» zu reduzieren: cv2.GaussianBlur(grayscaled\_image, (9 ,9), 0)
6. Segmentierung des Bildes (führt zu Binärbild): cv2.threshold(filtered\_image , 0, 255, cv2.THRESH\_BINARY + cv2.THRESH\_TRIANGLE)
7. Detektierung von Konturen

und zugleich Approximation/ Kompression von Konturen. cv2.findContours(thresholded\_image, cv2.RETR\_EXTERNAL, cv2.CHAIN\_APPROX\_TC89\_KCOS) 8. Filterung der Konturen: Da einige Konturen nur Stroh-Haufen oder Steckdose am Rande des Bildes zeigen, werden nur Konturen mit Fläche > 10000px in der Auswahl berücksichtigt. Dies ist sehr wirkungsvoll, man grenzt hier die detektierten Konturen bei einigen Bildern von über 1000 auf nur 10 ein.: int(cv2.contourArea(contour))> 10000 9. Detektierte Konturen in eine Kopie des Originalbildes einzeichnen.

→ It is safe to say that CLAHE gives better results and performance than applying histogram equalization in many situations. In this sense, CLAHE is commonly used as the first step in many computer vision applications. Weitere Ideen:

- cv2.matchShapes() (Kapitel conturen ganz am schluss)
- Feature Detection mit SURF, FAST, ORB, ... und anschliessend Feature Matching (marker-less augmented reality). Vielleicht kann ich den Stallboden und den Pfosten als "planar marker" brauchen? Ansonsten marker-based augmented reality → wahrscheinlich einfacher. (Kapitel Augmented Reality)
- ROI?
- Vielleicht statt geometrisches Abbild der Kuh manuell machen, Bilder von x Kühen bearbeiten und deren Konturen auslesen. Anschliessend diese Konturen verwenden.

Eher Erfolgreiche Thresholding Konfigurationen: thresholded = cv2.adaptiveThreshold(filtered, 255, cv2.ADAPTIVE\_THRESH\_MEAN\_C, cv2.THRESH\_BINARY, 9, 3) mit contours2, hierarchy2 = cv2.findContours(thresholded, cv2.RETR\_LIST, cv2.CHAIN\_APPROX\_NONE)

rect, thresholded = cv2.threshold(filtered, 60, 255, cv2.THRESH\_BINARY)

cannycontours nicht vielversprechend

ACHTUNG: Nach aktuellen Erkenntnissen hat CLAHE einen negativen Effekt auf Erkennung! CLAHE nützt wahrscheinlich nur für Farbsegmentierung inRange. CLAHE wird in Objekt Detection auch nie benutzt eigentlich.. Außerdem ist CLAHE für manuelle Überwachung gut.

BISHER DIE BESTEN ERGEBNISSE

## *5 Resultate*

---

```
cow_hsv_lower = np.array([3, 105, 39]) cow_hsv_upper = np.array([43,205,139]) hsv  
= cv2.cvtColor(original_image, cv2.COLOR_BGR2HSV) mask = cv2.inRange(hsv,  
cow_hsv_lower , cow_hsv_upper) contours2, hierarchy2 = cv2.findContours(mask,  
cv2.RETR_LIST, cv2.CHAIN_APPROX_NONE)
```

```
auch gut ist: einfach jeder wert +- 50 cow_hsv_lower = np.array([-47, 105, 39])  
cow_hsv_upper = np.array([73,205,139])
```

```
cow_hsv_lower = np.array([-57, 95, 29]) cow_hsv_upper = np.array([83,215,149])
```

```
cow_hsv2_lower = np.array([-10, 124, 113]) cow_hsv2_upper = np.array([30,242,213])
```

# 6 Ausblick

**Der Inhalt dieses Kapitels kann im Moment als Notiz betrachtet werden.  
Ist noch nicht reingeschrieben.**

More data regarding prepartum behavioural changes are now needed from animals of other breeds reared under different conditions. Beyond their usefulness for farmers and veterinarians, automated detection systems may also provide valuable data on pre-calving physiological changes in a large number of animals. This could become a source of better knowledge that eventually will lead to more efficient monitoring systems. Exploring the relationship between calving phenotypic traits and genotypic data might lead to the identification of genomic regions influencing calving and eventually open the possibility for cows that calve more easily and with less perinatal mortality. **Saint-Dizier & Chistant-Maillard (2015)**

Weiterentwicklungsdeen:

- Machine Learning (wurde nicht gemacht, weil zu wenige Daten vorhanden)  
-> Hierfür könnte man den Algorithmus "Haar Cascade zum Erkennen der Kühe/ Merkmale verwenden. -> hierfür werden viele Bilder berücksichtigt. Um dies zu erreichen eine datei positive-description und eine datei <negative-description> erstellen. die datei <positive-description> listet Bilder auf, wie oft ein Merkmal vorkommt und anschliessend die Koordinaten des Merkmals als Rechteck. Die Datei <negative-description> listet Dateien auf, in welchen das Merkmal nicht vorkommt. (**Howse et al. 2016**, S. 75 ff. ) und (**Howse et al. 2016**, S. 139 ff. )
- Verbesserung der Objekterkennung anhand von Depth Cameras: Kapitel 5 von Joseph Howse et al. Dadurch könnte man nur den Vordergrund anschauen. (**Howse et al. 2016**, S. 91 ff. )
- Feature Detection und Perspective Transforms (**Howse et al. 2016**, S. 385 ff. )

## **7 Selbstreflexion**

# **Selbstständigkeitserklärung**

Ich bestätige, die vorliegende Arbeit selbstständig verfasst zu haben.

Sämtliche Textstellen, die nicht von mir stammen, sind als Zitate gekennzeichnet und mit dem genauen Hinweis auf ihre Herkunft versehen.

Die verwendeten Quellen (gilt auch für Abbildungen, Grafiken u.ä.) sind im Literatur- bzw. Quellenverzeichnis aufgeführt.

A handwritten signature in black ink, appearing to read "Dominique Müller".

Dominique Müller

# Abbildungsverzeichnis

1	Entwicklung der Anzahl Haupt- und Nebenerwerbsbetriebe nach Regionen (Agrarbericht.ch n.d.) . . . . .	2
2	Schwanzhebung tritt vermehrt in den letzten 24 Stunden vor dem Kalben auf (Lange et al. 2017, S. 4847 f.). . . . .	10
3	Häufigkeit von Geburtsanzeichen während den letzten 24 Stunden vor Geburtsstadium 2 nach Lange et al.: Schwanzhebung (durchgezogene Linie), deutlicher Scheidenausfluss (kurze gestrichelte Linie), blutiger Scheidenausfluss (lange gestrichelte Linie) und seitliches Liegen mit Abdominalkontraktion (gepunktete Linie) (Lange et al. 2017, S. 4851). . . . .	11
4	Veranschaulichung zur Vorderendlage eines Kalbes (Traulsen & Tischer 2013, S. 17). . . . .	12
5	Die Fruchtblasen (Wasser- und Schleimblase) weiten bei der Öffnungsphase den Geburtsweg (Traulsen & Tischer 2013, S. 7) . . . . .	13
6	Die Aufweitungsphase dauert bei Kühen im Normalfall 1 bis 3 Stunden. Bei Färzen kann dies bis zu 3 Stunden länger dauern. (Traulsen & Tischer 2013, S. 7) . . . . .	14
7	In der Austreibungsphase wird das Kalb zur Welt gebracht (Traulsen & Tischer 2013, S. 8) . . . . .	15
8	Austritt der Klauen des Kalbes (Müller 2020a) . . . . .	22
9	Seitliches Liegen kurz vor der Geburt des Kalbes . . . . .	22
10	Kamerabild der Schwanzhebung . . . . .	23
11	Schleim im Schambereich der Kuh kurz vor der Geburt . . . . .	23
12	Die Nachgeburt wird ausgelöst. . . . .	23
13	Domänenmodell Kalbsgeburt . . . . .	25
14	Allgemeine Bibliothek an Value Objects . . . . .	26
15	Bibliothek an Value Objects bezüglich Konfiguration und Versand von Nachrichten . . . . .	27

## Abbildungsverzeichnis

---

16	Lösungsdokumentation des Pakets Image-Analysis zur Geburtsprognose und Geburtserkennung . . . . .	31
17	Lösungsdokumentation der Pakete Message-Configuration zur Konfiguration und Message Posting zum Versand von Benachrichtigungen.	32
18	Beispielbild als Ausgangslage zur Veranschaulichung des Vorgehens .	35
19	Vergleich der Histogramme vor und nach Bildbearbeitung . . . . .	36
20	Binärbild, welches den Bereich der Lampe weiss darstellt . . . . .	37
21	Binärbild, welches den Bereich des Stallbodens und Holzträgers weiss darstellt . . . . .	38
22	Binärbild, welches die vorherigen Binärbilder von unwichtigen Regionen kombiniert . . . . .	39
23	Unwichtige Bereiche als Konturen . . . . .	40
24	Unwichtige Bereiche als Polygone . . . . .	41
25	Unwichtige Bereiche als konvexe Hülle . . . . .	42
26	Unwichtige Bereiche als Kreise . . . . .	43
27	Unwichtige Bereiche als Rechtecke . . . . .	44
28	Binärbild, welches aus dem Ausgangsbild erstellt wurde . . . . .	45
29	Ausgangsbild mit rot eingefärbten Konturen . . . . .	46
30	Versuch, aus geglättetem und aufgehellt Bild wichtige Bereiche zu detektieren . . . . .	47
31	Versuch, aus nicht geglättetem Bild wichtige Bereiche zu detektieren .	48
32	Ergebnisse nach angepasster Konfiguration des Schwellwertverfahrens	49
33	Ergebnisse nach angepasster Konfiguration des Contour Finders .	50
34	Konturen mit Farbe gefüllt . . . . .	51
35	Veranschaulichung zur Analyse der Winkel . . . . .	52
36	Ergebnisse nach Filterung der Konturen nach Winkel . . . . .	53
37	Rechteck mit kleinsten Fläche, welches die Kontur einschliesst . . .	54
38	Veranschaulichung der Konturfläche in roter Farbe und des umschliessenden Rechtecks mit schwarzem Rahmen . . . . .	55
39	Ergebnis der Filterung der Konturen nach Winkel und Extent . . . .	56
40	Ergebnis der Filterung der Konturen nach Extent . . . . .	57
41	Mindmap als Entwurf für die Modellierung der Domäne. Farbcodierung gemäss Tabelle . . . . .	79

# Tabellenverzeichnis

1	Projektziele . . . . .	5
2	Betriebliche Ziele für die Überwachung bei der Geburt von Kälbern. . . . .	6
3	Optionale Ziele für die Überwachung bei der Geburt von Kälbern. . . . .	6
4	Bewertung der Anwesenheit und Abwesenheit von Merkmalen als Indikator einer bevorstehenden Geburt. . . . .	19
5	Zuordnung von Merkmalen zu Geburtsphasen und Bewertung der Häufigkeiten von Merkmalen (Samuel Kohler) . . . . .	20
6	Zuordnung von Merkmalen zu Geburtsphasen und Bewertung der Häufigkeiten von Merkmalen (Gaby Hirsbrunner) . . . . .	21
7	Legende fürs Domänenmodell und für die UML-Diagramme als Lösungsdokumentation . . . . .	24
8	Glossareintrag zu kalben . . . . .	69
9	Glossareintrag zu abkalben . . . . .	69
10	Glossareintrag zu Abdominalkontraktion . . . . .	70
11	Glossareintrag zu Ödem . . . . .	70
12	Glossareintrag zu Vorkalbeperiode . . . . .	71
13	Glossareintrag zu Vorkalbeperiode . . . . .	71
14	Glossareintrag zu Geburtsphase 2 nach Lange et al. . . . .	71
15	Glossareintrag zu Hyperplasie . . . . .	72
16	Glossareintrag zu Plazenta-Retention . . . . .	72
17	Glossareintrag zu Allantochorions . . . . .	72
18	Glossareintrag zu Hypothalamus-Hypophysen-Nebennierenrinden-Achse . . . . .	73
19	Basisinformationen zum Computer Entwicklung . . . . .	74
20	Eingesetzte Software Entwicklung . . . . .	74
21	Nützliche Links . . . . .	78

# Literaturverzeichnis

Agrarbericht.ch (n.d.), ‘www.agrarbericht.ch’.

**URL:** <https://agrarbericht.ch/de/betrieb/strukturen/betriebe?highlight=größenklasse>

Fernández Villán, A. (2019), *Mastering OpenCV 4 with Python*, Packt Publishing, Birmingham.

Hirsbrunner, G. (2020), ‘Interview 2.4.2020’.

Hofer, T. (2010), ‘Strukturwandel in der Zürcher Landwirtschaft’.

Howse, J., Joshi, P. & Beyeler, M. (2016), *OpenCV: Computer Vision Projects with Python*, Packt Publishing, Birmingham.

Kohler, S. (2020), ‘Interview 19.3.2020’.

Lange, K., Fischer-Tenhagen, C. & Heuwieser, W. (2017), ‘Predicting stage 2 of calving in Holstein-Friesian heifers’, *Journal of Dairy Science* **100**(6), 10.

**URL:** *Friu*

Müller, P. (2019), ‘Persönliche Kommunikation Sommer 2019’.

Müller, P. (2020a), ‘Nachbesprechung vom 2.4.2020’.

Müller, P. (2020b), ‘Persönliche Kommunikation 20. Februar 2020’.

Ouellet, V., Vasseur, E., Heuwieser, W., Burfeind, O., Maldague, X. & Charbonneau (2016), ‘Evaluation of calving indicators measured by automated monitoring devices to predict the onset of calving in Holstein dairy cows’, *Journal of Dairy Science* **99**(2), 1539–1548.

Pahl, C., Hartung, E., Grothmann, A., Mahlkow-Nerge, K. & Haeussermann, A. (2014), ‘Rumination activity of dairy cows in the 24 hours before and after calving’, *Journal of Dairy Science* **97**(11), 3–7.

**URL:** <http://dx.doi.org/10.3168/jds.2014-8194>

## *Literaturverzeichnis*

---

- Rupp, C., Stefan, Q. & Sophisten, D. (2012), *UML 2 glasklar*, 4 edn, Carl Hanser Verlag München, Nürnberg.
- Saint-Dizier, M. & Chastant-Maillard, S. (2015), 'Methods and on-farm devices to predict calving time in cattle', *Veterinary Journal* **205**(3), 349–356.  
**URL:** <http://dx.doi.org/10.1016/j.tvjl.2015.05.006>
- Stefan, M., Mante, J. & Pfefferli, S. (2003), 'Der agrarstrukturelle Wandel in der Schweiz'.
- Streyl, D., Sauter-Louis, C., Braunert, A., Lange, D., Weber, F. & Zerbe, H. (2011), 'Establishment of a standard operating procedure for predicting the time of calving in cattle', *Journal of Veterinary Science* **12**(2), 177–186.
- Swissgenetics (n.d.), 'die-fruchtbare-kuh.ch'.  
**URL:** [die-fruchtbare-kuh.ch](http://die-fruchtbare-kuh.ch)
- Traulsen, K. & Tischer, M. (2013), Geburtsüberwachung und Geburtshilfe beim Rind, Technical report, Boehringer Ingelheim Vetmedica GmbH, Ingelheim am Rhein.  
**URL:** <https://www.vetmedica.de/2013-01-metacam-geburtshilfebroschuere-561.pdfx>

# Anhang

## 1 Glossar

Begriff	kalben
Bedeutung	ein Kalb gebären
Synonyme	
Oberbegriff	
Unterbegriffe	
Abgrenzung, Gültigkeit	Landwirtschaft
Eigenschaften	
Querverweise	

Tabelle 8: Glossareintrag zu kalben

Begriff	Abkalbung
Bedeutung	siehe "kalben"
Synonyme	kalben
Oberbegriff	
Unterbegriffe	
Abgrenzung, Gültigkeit	Landwirtschaft
Eigenschaften	
Querverweise	

Tabelle 9: Glossareintrag zu abkalben

Begriff	Abdominalkontraktion
Bedeutung	Kontraktion der Bauchmuskeln Ggf noch genauer abklären. geht es um eine Kontraktion der Bauchmuskeln im Sinne von Zusammenziehen des Rumpfs (sieht von aussen wie husten aus) oder geht es um Abduktion, also dem Wegführen der Extremität vom Körper. Oder sind damit Wehen gemeint?
Synonyme	
Oberbegriff	
Unterbegriffe	
Abgrenzung, Gültigkeit	Medizin
Eigenschaften	
Querverweise	

Tabelle 10: Glossareintrag zu Abdominalkontraktion

Begriff	Ödem
Bedeutung	Ein Ödem (Wassereinlagerung im Gewebe) entsteht dann, wenn in einem Gewebe die Durchblutung erhöht (zusammen mit veränderter Strömungsmechanik des Blutes) und/oder der Abfluss über Lymphe/Venen (oder auch die Wasserausscheidung über die Niere) gestört ist. Beispiel Euterödem: Mehre Tage vor dem Abkalben beginnt die Kuh mit dem „Aufeutern“, d.h. das Euter bereitet sich auf die kommende Laktation vor. Mit der beginnenden Milchproduktion muss das Eutergewebe stärker durchblutet werden. <b>Swissgenetics (n.d.)</b> Weiter treten auch Schamlippenödeme häufig auf.
Synonyme	
Oberbegriff	
Unterbegriffe	
Abgrenzung, Gültigkeit	Veterinärmedizin, Landwirtschaft
Eigenschaften	
Querverweise	

Tabelle 11: Glossareintrag zu Ödem

<b>Begriff</b>	<b>Vorkalbeperiode</b>
Bedeutung	Die Zeit, welche von 4 Tagen vor der Geburt bis zur Geburt reicht.
Synonyme	
Oberbegriff	
Unterbegriffe	
Abgrenzung, Gültigkeit	Veterinärmedizin, Landwirtschaft
Eigenschaften	
Querverweise	

Tabelle 12: Glossareintrag zu Vorkalbeperiode

<b>Begriff</b>	<b>Dystokie</b>
Bedeutung	Gestörter und/ oder verspäteter Geburtsverlauf, erschwerte Entbindung
Synonyme	
Oberbegriff	
Unterbegriffe	
Abgrenzung, Gültigkeit	Medizin
Eigenschaften	
Querverweise	

Tabelle 13: Glossareintrag zu Vorkalbeperiode

<b>Begriff</b>	<b>Geburtsphase 2 nach Lange et al.</b>
Bedeutung	Die zweite Geburtsphase beginnt mit der Erweiterung des Muttermundes durch die Fruchtblase und endet mit der Austreibung des Fötus <a href="#">Lange et al. (2017)</a>
Synonyme	
Oberbegriff	
Unterbegriffe	
Abgrenzung, Gültigkeit	Medizin
Eigenschaften	
Querverweise	

Tabelle 14: Glossareintrag zu Geburtsphase 2 nach Lange et al.

Begriff	Hyperplasie
Bedeutung	Vergrößerung eines Gewebes oder Organs durch vermehrte Zellteilung und eine damit verbundene außerordentliche Erhöhung der Zellanzahl
Synonyme	
Oberbegriff	
Unterbegriffe	
Abgrenzung, Gültigkeit	Medizin
Eigenschaften	
Querverweise	

Tabelle 15: Glossareintrag zu Hyperplasie

Begriff	Plazenta-Retention
Bedeutung	
Synonyme	
Oberbegriff	
Unterbegriffe	
Abgrenzung, Gültigkeit	Medizin
Eigenschaften	
Querverweise	

Tabelle 16: Glossareintrag zu Plazenta-Retention

Begriff	Allantochorions
Bedeutung	
Synonyme	
Oberbegriff	
Unterbegriffe	
Abgrenzung, Gültigkeit	
Eigenschaften	
Querverweise	

Tabelle 17: Glossareintrag zu Allantochorions

<b>Begriff</b>	<b>Hypothalamus-Hypophysen-Nebennierenrinden-Achse</b>
Bedeutung	
Synonyme	
Oberbegriff	
Unterbegriffe	
Abgrenzung, Gültigkeit	Medizin
Eigenschaften	
Querverweise	

Tabelle 18: Glossareintrag zu Hypothalamus-Hypophysen-Nebennierenrinden- Achse

## 2 Dokumentation zum entwickelten System

### 2.1 Computer für Entwicklung

#### 2.1.1 Basisinformationen

Begriff	Spezifikation
Modell	Mac mini (Late 2014)
Betriebssystem	macOS Catalina Version 10.15.3
Prozessor	2.6 GHz Dual-Core Intel Core i5
Speicher	8 GB 1600 MHz DDR3
Grafikkarte	Intel Iris 1536 MB
Seriennummer	C07QG49TG1HW

Tabelle 19: Basisinformationen zum Computer Entwicklung

### 2.2 Eingesetzte Software

Nachfolgend wird die wertschöpfende Software mit dem entsprechenden Verwendungszweck und der eingesetzten Version genannt.

Software	Verwendungszweck	Version
Python	Programmiersprache für Housekeeping und Auslösung der spezifischen Aktionen ausgehend vom Erreichen oder Nichterreichen der merkmalsbezogenen Schwellwertes	3.7.4
OpenCV	Programmbibliothek mit Algorithmen für die Bildverarbeitung und maschinelles Sehen	4.2.0

Tabelle 20: Eingesetzte Software Entwicklung

### 2.3 Installation von OpenCV und vorausgesetzten Softwaremodulen

#### 2.3.1 Xcode installieren und Lizenzvereinbarung akzeptieren

- Im App Store anmelden und Xcode herunterladen
- `sudo xcodebuild -license`

- sudo xcode-select -install

### **2.3.2 Apple Command Line Tools installieren**

- sudo xcode-select -install

### **2.3.3 Homebrew installieren und Bash Profil anpassen**

- /usr/bin/ruby -e "\$(curl -fsSL https://raw.githubusercontent.com/Homebrew/install/master/install)"
- brew update
- echo "# Homebrew">>> ~/.bash\_profile
- echo "export PATH=/usr/local/bin:\$PATH"» ~/.bash\_profile

### **2.3.4 Pakete installieren**

- brew install cmake pkg-config
- brew install qt5
- brew install wget

### **2.3.5 Konfiguration und Ordnerstruktur vorbereiten**

- QT5PATH=/usr/local/Cellar/qt/5.14.1
- cwd=\$(pwd)
- cvVersion="master"
- rm -rf opencv/build
- rm -rf opencv\_contrib/build
- mkdir installation
- mkdir installation/OpenCV-"\$cvVersion"

### 2.3.6 Python Pakete installieren und virtuelle Umgebung einrichten

- sudo -H pip3 install -U pip numpy
- sudo -H python3 -m pip install virtualenv virtualenvwrapper
- VIRTUALENVWRAPPER\_PYTHON=/usr/local/bin/python3
- echo "VIRTUALENVWRAPPER\_PYTHON=/usr/local/bin/python3">>> /.bash\_profile
- echo "# Virtual Environment Wrapper">>> /.bash\_profile
- echo "source /usr/local/bin/virtualenvwrapper.sh">>> /.bash\_profile
- mkvirtualenv OpenCV-"\$cvVersion"-py3 -p python3
- workon OpenCV-"\$cvVersion"-py3s
- pip install cmake numpy scipy matplotlib scikit-image scikit-learn ipython dlib
- deactivate

### 2.3.7 GitHub Repositories klonen

- git clone https://github.com/opencv/opencv.git
- cd opencv
- git checkout master
- cd ..
- git clone https://github.com/opencv/opencv\_contrib.git
- cd opencv\_contrib
- git checkout master
- cd ..
- cd opencv
- mkdir build
- cd build

### 2.3.8 Build erstellen

```
cmake -D CMAKE_BUILD_TYPE=RELEASE \
-D CMAKE_INSTALL_PREFIX=$cwd/installation/OpenCV-"$cvVersion" \
-D INSTALL_C_EXAMPLES=OFF \
-D INSTALL_PYTHON_EXAMPLES=ON \
-D WITH_TBB=ON \
-D WITH_V4L=ON \
-D OPENCV_SKIP_PYTHON_LOADER=ON \
-D CMAKE_PREFIX_PATH=$QT5PATH \
-D CMAKE_MODULE_PATH="$QT5PATH"/lib/cmake \
-D OPENCV_PYTHON3_INSTALL_PATH=~/.virtualenvs/OpenCV-"$cvVersion"-py3/lib/python \
\
-D WITH_QT=ON \
-D WITH_OPENGL=ON \
-D OPENCV_EXTRA_MODULES_PATH=../../opencv_contrib/modules \
-D BUILD_EXAMPLES=ON
```

### 2.3.9 OpenCV 4 komplizieren

- make -j\$(sysctl -n hw.physicalcpu)
- make install
- cd \$cwd

### 2.3.10 Spyder für die Benutzung mit der virtuellen Umgebung einrichten

- workon OpenCV-master-py3
- pip install spyder-kernels==0.\*
- python -c "import sys; print(sys.executable)":
- Die Ausgabe dieses Befehls in den Zwischenspeicher kopieren.
- Spyder öffnen und in den Voreinstellungen den Menupunkt "Python-Interpreter" wählen.

- Den Inhalt aus dem Zwischenspeicher als Pfad zum Python-Interpreter verwenden.

## 2.4 Nützliche Links

Stichwort	URL
Informationen zu OpenCV	<a href="http://opencv.org">opencv.org</a>
OpenCV-Python Tutorials und Dokumentation	<a href="http://opencv-python-tutroals.readthedocs.io/en/latest">opencv-python-tutroals.readthedocs.io/en/latest</a>

Tabelle 21: Nützliche Links

### 3 Mindmap als Entwurf für Modellierung der Domäne

79

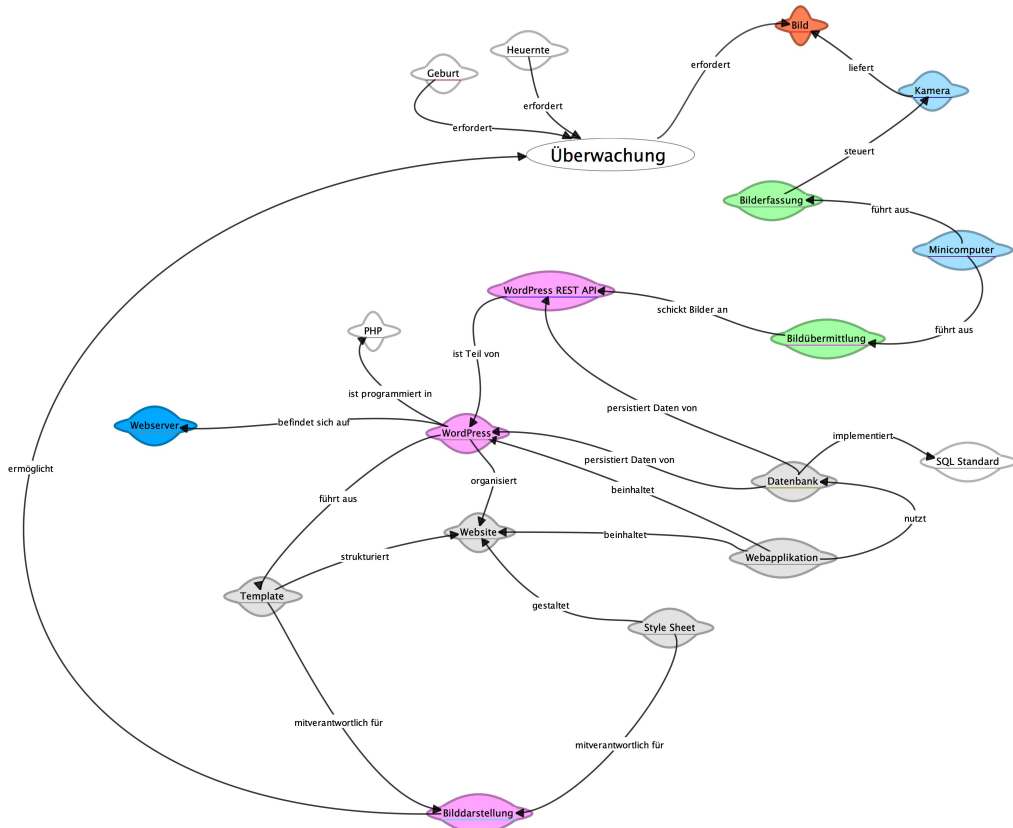


Abbildung 41: Mindmap als Entwurf für die Modellierung der Domäne. Farbcodierung gemäss Tabelle